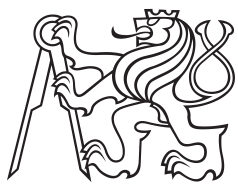


Semestrální projekt jako podklad pro diplomovou práci



České
vysoké
učení technické
v Praze

F3

Fakulta elektrotechnická
Katedra mikroelektroniky

Systém pro podlahové vytápění rodinného domu pomocí zónové regulace

Bc. Roman Labovský

Vedoucí: Ing. Vladimír Janíček, Ph.D.

Obor: Elektronika

Studijní program: Elektronika a komunikace

Leden 2021

Poděkování

Prohlášení

Prohlašuji, že jsem předloženou práci vypracoval samostatně a že jsem uvedl veškeré použité informační zdroje v souladu s Metodickým pokynem o dodržování etických principů při přípravě vysokoškolských závěrečných prací.

.....
Bc. Roman Labovský

Abstrakt

Klíčová slova:

Vedoucí: Ing. Vladimír Janíček, Ph.D.
České vysoké učení technické v Praze,
Elektrotechnická fakulta, Katedra
mikroelektroniky
Technická 2,
Praha 6

Abstract

Keywords:

Obsah

Seznam použitých termínů a zkratek 1

1 Úvod 3

1.1 Cíl práce 4

Část I Teoretická část

2 Rešerše 7

2.1 Podlahové vytápění 7

2.2 Zónová regulace vytápění 9

2.2.1 Principy zónové regulace
vytápění 10

2.2.2 Dostupné komerční řešení
zónové regulace podlahového
vytápění 11

3 Návrh konceptu řídicího systému 19

3.1 Popis celkového konceptu 19

3.1.1 Hardwarová část 20

3.1.2 Komunikační část 23

3.2 Řídicí systém 30

3.2.1 Home Assistant 31

3.2.2 Inteligentní část systému 34

Část II Praktická část

4 Výběr komponent/zářízení 39

4.1 Centrální jednotka Raspberry Pi 39

4.2 Teplotní senzory pro krby 41

4.3 Teplotní senzory na 1-Wire
sběrnici 42

4.4 DPS se vstupy/výstupu pro
Raspberry Pi 42

4.4.1 Datová část 1-Wire sběrnici . 42

4.4.2 Napájení 1-Wire sběrnice ... 43

4.4.3 Ochrana pro chodbové nástěnné
snímače prostorové teploty 44

4.4.4 Ochrana napájení 3,3 V 44

4.4.5 Způsob realizace 1-Wire
sběrnice 45

4.4.6 Realizovaná DPS ochran pro
centrální jednotku Raspberry Pi . 45

4.5 DPS u krbů 46

4.5.1 I²C sběrnice 47

4.5.2 49

5 Závěr 51

Přílohy

A Literatura 55

Obrázky

2.1 Vertikální průběh teploty vzduchu u podlahové vytápění.	8	3.7 Zapojení 1-Wire sběrnice ve trojvodičovém provedení.	29
2.2 Porovnání rozložení teplot při použití podlahové vytápění a deskových/článkových otopných těles.	8	3.8 Zapojení 1-Wire sběrnice ve dvouvodičovém provedení.	29
2.3 Obecný princip zónové regulace vytápění.	11	3.9 Průběhy na sběrnici 1-Wire.	30
2.4 Jednotlivá zařízení systému Elektrobock PocketHome.	12	3.10 Přehled řízení domácí automatizace HA.	32
2.5 Jednotlivá zařízení systému Honeywell Evohome.	14	3.11 Jádro architektury HA.	33
2.6 Jednotlivá zařízení systému Danfoss Danfoss Link.	15	3.12 Znázornění využití komponent v HA.	34
3.1 Otopná soustava v domě.	20	4.1 Raspberry Pi 4 model B. Upraveno z [33].	41
3.2 Návrh hardwarové části systému.	22	4.2 Termočlánek 72-21301041 typu K [34].	41
3.3 Návrh komunikační části systému.	24	4.3 ESD ochrany pro 1-Wire sběrnici s převodním napěťových úrovní	43
3.4 Základní funkční schéma MQTT komunikace.	25	4.4 Obvod TPS26600 pro ochranu napájení 1-Wire sběrnice.	44
3.5 Zapojení I ² C sběrnice.	26	4.5 Ochrana pro napájení 3,3 V z Raspberry Pi.	45
3.6 Příklad I ² C datové komunikace se 7-bitovou adresací.	27	4.6 Spodní část DPS pro ochranu vstupů/výstupů pro Raspberry Pi.	45
		4.7 Vrchní část DPS pro ochranu vstupů/výstupů pro Raspberry Pi.	46

4.8 Zapojení pro ovládání signalizační červené LED.	47
4.9 Blokové schéma zapojení obvodu PCA9615 s impedančním zakončením sběrnice a možnostmi napojení uzlů. Upraveno z [35].	48
4.10 Zapojení PCA9615 v modulu. Upraveno z [35].	48
4.11 Modul s obvodem PCA9615. ...	49
4.12 . Upraveno z []....	50

Tabulky

2.1 Srovnání funkcí jednotlivých komerčních systémů.	16
4.1 Přehled vybavení Raspberry Pi 4 modelu B [9].	40

Seznam použitých termínů a zkratek

API Application Programming Interface.

BJSON Binary JavaScript Object Notation.

HA Home Assistant.

I²C Inter-Integrated Circuit.

JSON JavaScript Object Notation.

LCD Liquid Crystal Display.

LED Light-Emitting Diode.

M2M Machine To Machine.

MQTT Message Queuing Telemetry Transport.

POE Power Over Ethernet.

PWM Pulse Width Modulation.

QoS Quality of Service.

RAM Random Access Memory.

ROM Read Only Memory.

SCL Synchronous Clock.

.....

SDA Synchronous Data.

SSL Secure Sockets Layer.

TCP/IP Transmission Control Protocol/Internet Protocol.

TLS Transport Layer Security.

TUV Teplá užitková voda.

USB Universal Serial Bus.

Kapitola 1

Úvod

V současné době s rozvojem elektroniky jsou k dispozici nové možnosti domácí automatizace různého druhu. Cílem této automatizace je ekonomické, energetické řízení, víceúčelové použití a rekonfigurace nastavení a to vše pro potřeby obyvatel s cílem zvýšit jejich pohodlí.

Jednou ze zajímavých oblastí této automatizace je vytápění domácnosti. Na dnešním trhu je možné nalézt mnoho výrobců tohoto řešení. Všichni však mají stejný primární cíl dosáhnout požadované teploty v místnosti, co možná s největšími úspory na spotřebované energii. To ve většině případech dosahují podle nastaveného teplotního režimu od uživatele. Existují i takové, které si tento režim udělají sami podle aktivit obyvatel. Vzhledem k budování nízkoenergetický, pasivních či nulových domů je optimální vytápění nezbytností.

Jako další alternativa pro řešení oblasti vytápění domácnosti vznikla tato práce. Podobnou tématikou jsem se zabýval i ve své bakalářské práci. Kde jsem automatizaci vytápění aplikoval na starším rodinném domě s centrálním termostatem, automatickým peletovým kotlem, deskovými otopnými tělesy a se zásobníkem teplé užitkové vody. V diplomové práci využívám stejný řídicí software pro vytápění, ale jedná se o novostavbu s podlahovým vytápěním, zónovou regulací, centrálním zásobníkem otopné vody (se zabudovaným zásobníkem teplé užitkové vody). Jako zdroje tepla jsou použity krby s teplovodním výměníkem a plynový kondenzační kotel.

Současná verze dokumentu je charakteru semestrálního projektu, která je teoretickým podkladem k diplomové práci a bude její součástí. Cíle tohoto

semestrálního projektu jsou popsány níže. Práce je nyní rozdělena na tři části. V první části jsou uvedeny informace o podlahovém vytápění a komerčních produktech. V druhé části se zabývám hardwarovým konceptem celého řídicího systému a nutných zařízení pro zónovou regulaci vytápění. V poslední třetí části se věnuji komunikační části mezi centrální jednotkou a akčními členy pro řízení jednotlivých topných okruhů.

1.1 Cíl práce

- Prostudovat problematiku podlahového vytápění při využití zónové regulace a její principy.
- Navrhnout koncept centrální jednotky a dalších nutných zařízení pro zónovou regulaci vytápění.
- Navrhnout koncept komunikace centrální jednotky, lokálních termostatů a akčních členů pro řízení jednotlivých otopných okruhů.

Část I

Teoretická část

Kapitola 2

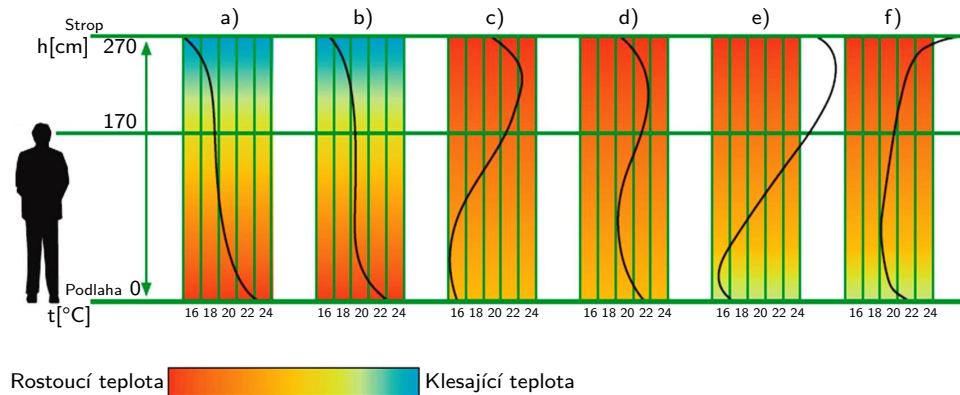
Rešerše

2.1 Podlahové vytápění

U podlahového vytápění dochází k přenosu tepla do vytápeného prostoru převážně sáláním. Což má za následek, že se od sálající plochy ohřívají plochy osálané a teprve od sálajících a osálaných ploch se ohřívá okolní vzduch (druhá konvenční složka z celkového tepelného toku). Naproti tomu při přenosu tepla pomocí deskových/článkových/trubkových otopných těles či konvektory dochází k přenosu pomocí proudění (konvekční složka). Teplota otopné plochy je poměrně nízká pohybuje se mezi 25 až 34 °C u podlahového vytápění a tedy i teplota teplonosné látky je nízká (otopná plocha je zahřívána buď teplou vodou, teplým vzduchem nebo elektricky). Proto je tento typ vytápění vhodné využít při zapojení s nízkoteplotním zdrojem, jako jsou tepelná čerpadla, kondenzační kotle či solární panely.

Důležitým parametrem pro příjemný pobyt v místnosti je prostorové rozložení teploty, jak ve vertikální tak horizontální rovině. Na vertikální rozložení teplot ve vytápené místnosti je způsobeno nerovnoměrným přívodem tepla a nerovnoměrným ochlazováním jednotlivých stěn místnosti. Vertikální nerovnoměrnost teplot je tím větší, čím vyšší je povrchová teplota otopné plochy. Vzhledem k tomu, že teplota u podlahové vytápění je povrchová teplota otopné vody ze všech druhů velkoplošného vytápění (podlahové, stropní, stěnové) nejnižší, je vertikální rozložení teplot skoro ideální, viz obrázek 2.1a. Optimální vytápění by mělo zajistit, aby v oblasti hlavy stojícího člověka byla teplota minimálně o 2 °C nižší, než je v úrovni kotníků. Takovému ideálnímu průběhu teplot odpovídá obrázek 2.1b. Dále jsou na obrázku 2.1 další způsoby

vytápění s vertikálními průběhy teplot. Na obrázku 2.2 je prostorové porovnání teploty podlahové vytápění a vytápění při využití deskových/článkových otopných těles s vyznačenými oblastmi teplot.



Obrázek 2.1: Vertikální průběh teploty vzduchu ve vytápěné místnosti při různém způsobu vytápění.

a) Ideální požadovaný průběh. b) Podlahové vytápění. c) Vytápění deskovými/článkovými otopnými tělesy (vnitřní stěna). d) Vytápění deskovými/článkovými otopnými tělesy (venkovní stěna). e) Konvektory. f) Stropní vytápění. Upraveno z [14].



Obrázek 2.2: Porovnání rozložení teplot při použití podlahové vytápění a deskových/článkových otopných těles. Upraveno z [15].

Výhody

- Je vhodné zejména tam, kde je nízkoteplotní zdroj tepla (tepelné čerpadlo, kondenzační kotel, solární panely, ...).

- Větší užitný prostor (místo nezabírají otopná tělesa).
- Cirkulace vzduchu je nižší oproti deskovým/článkovým otopným tělesům, proto je vříený prachu v místnosti menší.
- Téměř rovnoměrná teplota místnosti.

■ Nevýhody

- Zvýšené náklady na realizaci.
- Nezbytná pečlivá montáž a stavební dozor.
- Vyšší tepelná setrvačnost otopné soustavy.
- Vyšší nároky na řízení podlahové otopné plochy (zejména hlídání maximální vstupní otopné vody).

■ 2.2 Zónová regulace vytápění

Význam zónové regulace vytápění spočívá v systému umožňující individuální vytápění v jednotlivých místnostech (každá místnost nebo spojení více místností se označuje za zónu) na požadovanou teplotu. Základ zónové regulace je centrální řídící jednotka, která přijímá data od jednotlivých místností (zejména jejich aktuální teplotu) a dává povely do zařízení, které ovládá (otevírání/zavírání pohonů u jednotlivých otopných okruhů apod.). Přístup k řídící jednotce je nejčastěji pomocí displeje, webového rozhraní nebo jejich kombinace. V řídící jednotce se dá celý systém vytápění nastavit (nastavení časových a teplotních programů pro jednotlivé zóny a mnohé další).

Zónové systémy vytápění se rozdělují na dvě hlavní skupiny. První tvoří zónové systémy propojené pomocí vodičů a druhou skupinu tvoří bezdrátová technologie propojující centrální řídící jednotku a jednotlivé zóny.

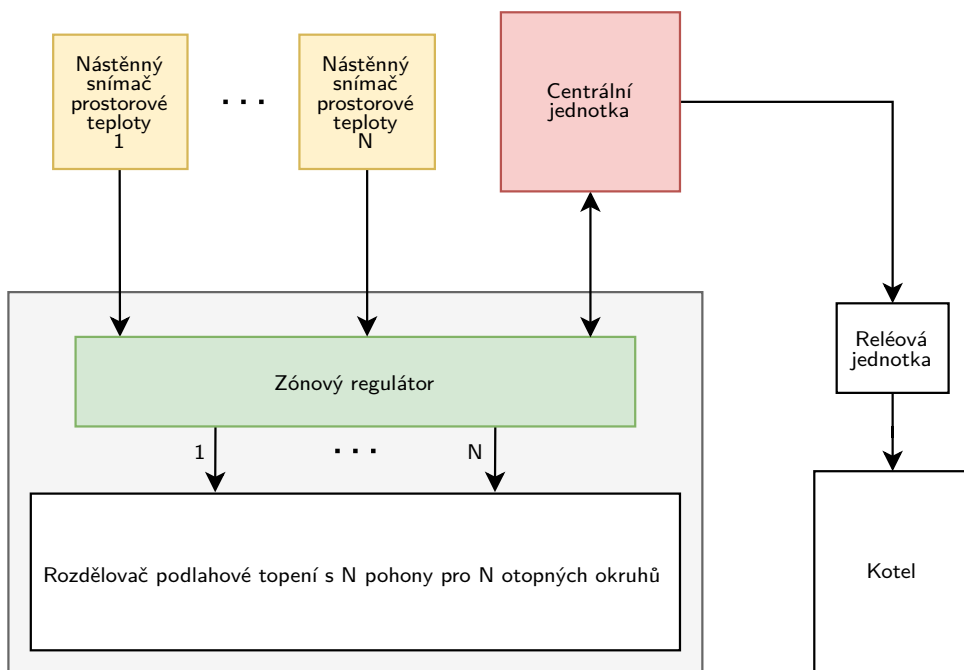
Hlavní částí zónového systému je centrální řídící jednotka. Mezi další komponenty patří, nástěnné snímače vnitřní teploty, snímač venkovní teploty, termoelektrické pohony, elektronické regulátory otopných těles, reléová spínací jednotka. Mezi komponenty, které přispívají ke komfortu zónové regulace jako senzor intenzity slunečního záření, senzor rychlosti větru, různé spínací

jednotky, jednotky pro ovládání žaluzí, moduly pro dálkové ovládání pomocí GSM a další.

■ 2.2.1 Principy zónové regulace vytápění

Jak již bylo řečeno, základem celého systému je centrální řídicí jednotka. Další důležitou částí je zónový regulátor, který slouží pro ovládání komponentů, které jsou k zónovému regulátoru připojeny. Mezi hlavní komponenty, který zónový regulátor ovládá, jsou termoelektrické pohony. Termoelektrický pohon je podobný termostatické hlavici, která se nasazuje na deskové/článkové otopné těleso, ale je jej možné ovládat elektrickým napětím. Samotná regulace vytápění probíhá tak, že řídicí jednotka je propojena se zónovým regulátorem. K zónovému regulátoru jsou připojeny jednotlivé nástenné snímače prostorové teploty a termoelektrické pohony, které jsou nasazeny na termostatický ventilech otopních okruhů/těles. V centrální jednotce jsou nastaveny časové programy (různé požadované teploty pro různé časové úseky). Centrální jednotka posílá do zónového regulátoru požadované teploty pro všechny zóny. Tyto teploty jsou v zónovém regulátoru porovnávány s aktuálními prostorovými teplotami měřenými nástennými jednotkami. V případě, že je prostorová teplota příslušné zóny nižší než požadovaná teplota (nastavená v centrální jednotce), ovládá zónový regulátor odpovídající pohon, který otevírá/zavírá daný ventil a umožňuje proudění otopné vody do otopného okruhu/tělesa, čím dochází ke změně teploty v místnosti. Pokud je připojen například kotel, je pak hořák kotle ovládán při požadavku vytápění v jakékoli místnosti. Princip zónové regulace je zobrazen na obrázku 2.3.

Další možné zapojení může být takové, že jednotlivé nástenné snímače prostorové teploty jsou přímo propojeny s centrální jednotkou, která následně podle časového programu posílá zónovému regulátoru požadavky na ovládání jednotlivých pohonů.



Obrázek 2.3: Obecný princip zónové regulace vytápění.

Mezi další ovládání zařízení při regulaci vytápění mohou být čerpadla, směšovací ventily zejména pro podlahové vytápění, kde je nutné udržovat teplotu otopné vody v daných mezích.

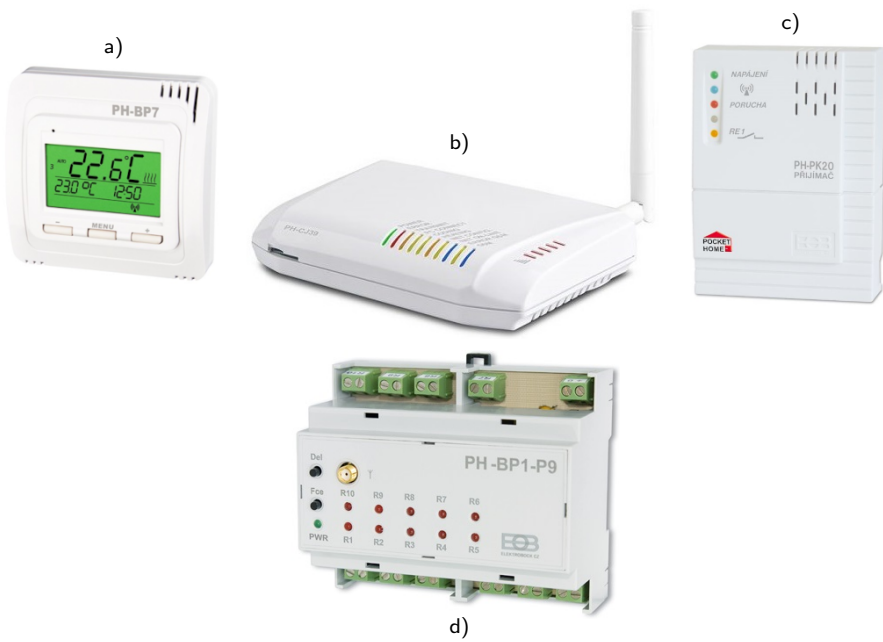
■ 2.2.2 Dostupné komerční řešení zónové regulace podlahového vytápění

Optimální systém pro otopnou soustavu, kterou hodlám řídit z obrázku 3.1, se skládá z řízení ovládání kotle, spínání čerpadel v případě zatopení v krbech a následnou indikaci uživateli, jak je moc zásobník otopné vody naakumulovaný, dále z jednotlivých otopných okruhů (12 pohonů pro 9 zón) a čerpadla podlahového vytápění. Pro zónovou regulaci se používá pouze patro.

■ Elektrobock

Česká firma Elektrobock nabízí bezdrátové řešení pro řízení podlahové vytápění. Systém řízení je zastřešené pod aplikaci PocketHome. Jednotlivé

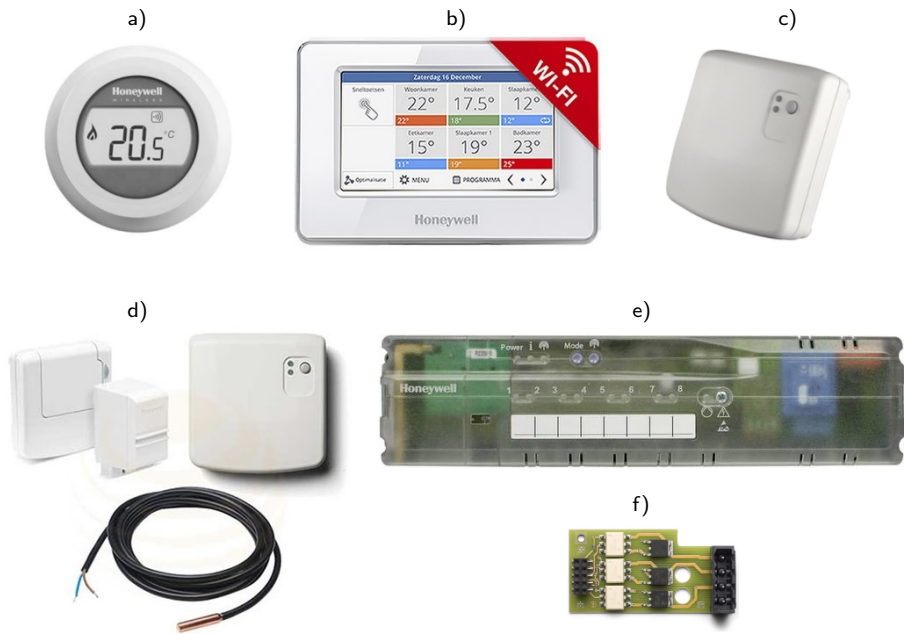
zařízení mohou fungovat samostatně bez nebo s centrální řídicí jednotkou. Tato centrální jednotka je zastřešené pod aplikaci PocketHome. Řídicí systém se skládá z centrální jednotky, nástěnných snímačů prostorové teploty pro jednotlivé místnosti a zónového regulátoru pro ovládání jednotlivých otopních okruhů (celkově je možné ovládat 9 zón) a oběhového čerpadla, dále je k dispozici zařízení pro zapínání/vypínání kotly nebo komunikace pomocí protokolu OpenTherm. Na obrázku 2.4 jsou zobrazena jednotlivá zařízení. Jistou nevýhodou může být bezdrátová komunikace na frekvenci 433,92 MHz, v případě delší vzdálenosti a především umístění na jiném patře centrální jednotky a nástěnných snímačů prostorové teploty, zónového regulátoru. Může docházet k problémům s komunikací, zejména pokud se jedná o zástavbu z železobetonu, kde odrazivost a neprůchodnost signálu je poměrně značná. Jednotlivé prvky mohou pracovat samostatně bez centrální jednotky, na druhou stranu se tímto ztrácí přehled o celém systému a komfortu nastavování z jednoho místa. Systém se může spravovat pomocí PC (systém Windows) nebo pomocí chytrého telefonu/tabletu (systém Android, iOS). Systém počítá s jedním zdrojem tepla, tedy kotlem (elektrickým, plynovým, automatickým), neuvažuje se s otopnou soustavou, kde je začleněn např. krb s tepelným výměníkem, jak z pohledu řízení čerpadel, tak i případnou indikaci o stavu naakumulovaní zásobníku s otopnou vodou. Problém bezdrátového, bateriového řešení je nutná výměna baterií po určité době.



Obrázek 2.4: Jednotlivá zařízení systému Elektrobock PocketHome.
a) Nástěnný snímač prostorové teploty. b) Centrální jednotka. c) Spínací jednotka kotle. d) Zónový regulátor. Upraveno z [16, 17, 18, 19].

Honeywell

Honeywell nabízí bezdrátový systém regulace podlahové vytápění. Systém řízení je zastřešené pod aplikaci Evohome. Skládá se z centrální jednotky s dotykovým displejem, nástěnných snímačů prostorové teploty pro jednotlivé místnosti, zónového regulátoru pro ovládání jednotlivých otopných okruhů (celkově je možné ovládat 5 zón, s rozšiřovacím modulem je možné se dostat na 8 zón). Systém je možné rozšířit o dobíjení TUV (*Teplá užitková voda*), pro sledování teploty na zásobníku je možné umístit teplotní čidlo, ze kterého je teplota odesílaná do centrální jednotky. Na obrázku 2.5 jsou zobrazena jednotlivá zařízení systému. Systém však při dobíjení zásobníku TUV počítá se zdrojem tepla pouze s kotlem, takže v případě využití krbů s výměníkem nastává problém. V neposlední řadě umožňuje zapojit směšovací ventil pro optimální teplotu do podlahového topení. Systém je možné ovládat lokálně nebo řídit vzdáleně odkudkoliv, je zapotřebí zaregistrovat si účet a spárovat ho s centrální jednotkou. Vzdálený server přijímá požadavky na změny režimů či nastavení teplot, a zasílá je do řídící jednotky. Server průběžně shromažďuje různá data o chování soustavy, a může je na základě žádosti poskytnout. Z toho vyplývá, že pro lepší řízení a nastavení vytápění je nutné zřídit vzdálený přístup a samotné vyhodnocení a dání povelů, pak dochází na vzdáleném serveru, nemáme moc pod kontrolou data a životnost takového systému do budoucnosti. Otázka je i při využití pouze lokálního režimu, zda regulace nepřichází o výhody cloudového řešení. Problém bezdrátového řešení může být opět prostup signálu mezi zařízeními a centrální jednotkou (opsaný u předešlého systému), zejména prostup železobetonovými podlahami a to především při komunikaci mezi centrální jednotkou umístěnou v patře a komunikací mezi se zařízeními ve sklepě (nutný průchod dvěma podlahami) a je nutná výměna baterií v zařízeních po určité době. Komunikace mezi zařízeními probíhá na frekvenci 868 MHz, připojení k centrální jednotce pomocí mobilní aplikace je pomocí WiFi.



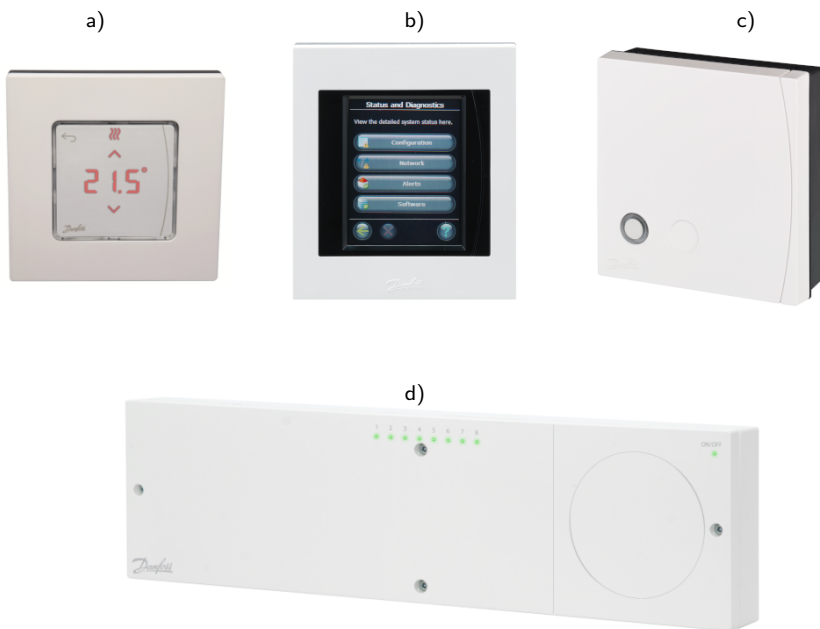
Obrázek 2.5: Jednotlivá zařízení systému Honeywell Evohome.

a) Nástěnný snímač prostorové teploty. b) Centrální jednotka. c) Spínací jednotka kotle. d) Řízení dobíjení TUV. e) Zónový regulátor. f) Rozšiřující modul pro zónový regulátor. Upraveno z [20, 21, 22, 23, 24, 25].

Danfoss

Danfoss nabízí bezdrátový systém regulace podlahové vytápění. Systém řízení je zastřešený pod aplikaci Danfoss Link. Řídící systém se skládá z centrální jednotky s dotykovým displejem, nástěnných snímačů prostorové teploty pro jednotlivé místnosti a zónového regulátoru pro ovládání jednotlivých otopných okruhů (celkově je možné ovládat 10 zón), oběhového čerpadla a řízení kotle. Na obrázku 2.6 jsou zobrazena jednotlivá zařízení systému. Vzdálené ovládání je umožněno přes mobilní aplikaci pomocí clouдовého řešení. Systém má absenci v řízení dobíjení TUV, respektive zásobníku na otopnou vodu a použití více zdrojů tepla (viz předchozích systémy). Opětovnými problémy může být šíření bezdrátového signálu mezi zařízeními (výrobce nabízí zesilovače/opakovače pro signál), problémy cloudového řešení a nutná výměna baterií po určité době (problémy více popsány u předešlých systémů). Komunikace mezi zařízeními probíhá na frekvenci 868 MHz.

2.2. Zónová regulace vytápění



Obrázek 2.6: Jednotlivá zařízení systému Danfoss Danfoss Link.

a) Nástěnný snímač prostorové teploty. b) Centrální jednotka. c) Spínací jednotka kotle. d) Zónový regulátor. Upraveno z [26, 27, 28, 29].

Pokud shrnu hlavní nedostatky zmíněných systémů pro řízení podlahového vytápění, tak mezi ně patří bezdrátové ovládání, zejména tedy možný problém komunikace mezi centrální jednotkou a zařízeními. Výměna baterií v zařízeních po určité době. Dále absence počítání s více zdroji tepla a centrálním zásobníkem otopné vody, systém od firmy Honeywell umožňuje ovládaní ohřev pro TUV. Dalším možným nedostatkem může být cloudové řešení z pohledu dlouhodobé garance fungování služby, dále pak vzdálené ovládání neprobíhá přímo s centrální jednotkou, ale se vzdáleným serverem. Další zjištěním bylo, že všechny systémy jsou nabízeny jako bezdrátové, což je samozřejmě pochopitelné jak z pohledu jednoduchého nainstalování, již do stávajících staveb, kde s takovým systémem nebylo počítáno (zejména staré zástavby), též není nutné provádět žádné stavební úpravy. Pokud jsou nabízena drátová řešení není zde žádná centrální jednotka, ovládání probíhá přes drátové lokální termostaty připojené přímo na zónový regulátor, který následně ovládá jednotlivé otopné okruhy. Tabulka 2.1 zobrazuje přehled funkcí systémů zmíněné výše.

Systém Funkce \	Elektrobock (PocketHome)	Honeywell (Evohome)	Danfoss (Danfoss Link)
Napojení na více zdrojů tepla	Ne	Ne	Ne
Napojení na centrální zásobník otopné vody	Ne	Ne	Ne
Ohřev TUV	Ne	Ano	Ne
Bezdrátové/drátové řešení	Ano	Ano	Ano
Možnosti ovládání	PC chytrý telefon	dotykový displej chytrý telefon	chytrý telefon
Cloudové řešení	Ne	Ano	Ano
Centrální řídicí jednotka	(PH-CJ39-WIFI, 1×) 3 678 Kč	(ATC928G3026, 1×) 5 994 Kč	(014G0288, 1×) 8 694 Kč
Zónový regulátor	(PH-BP1-P9, 1×) 3 388 Kč	(HCE80, 1×) 5 622 Kč	(088U1031, 1×) 4 299 Kč
Nástěnný snímač prostorové teploty	(PH-BP7-V, 9×) 9 036 Kč	(T87RF2083, 9×) 12 141 Kč	(088U1081, 9×) 19 476 Kč
Spínací jednotka kotle	(PH-PK20, 1×) 1 498 Kč	(BDR91A1000, 1×) 1 100 Kč	(014G0272, 1×) 2 190 Kč
Řízení dobíjení TUV		(ATF500DHW, 1×) 3 818 K	
Rozšiřující modul pro zónový regulátor		(HCS80, 1×) 1 897 Kč	
Celková cena včetně DPH ^a	17 600 Kč	30 572 Kč	34 659 Kč

^a Ceny stanoveny ke dni 26. 11. 2020.

Tabulka 2.1: Srovnání funkcí jednotlivých komerčních systémů.

V tabulce 2.1 chybí v části cen pohony pro ovládání jednotlivých otopných okruhů pomocí zónového regulátoru. Pro výše zmíněné systémy, zónový regulátor podporuje pohony na 230 V AC, pohony je možné koupit přímo od daného výrobce nebo od jiného, na samotnou funkčnost to nemá vliv. Jediný rozdíl může být v pořizovací ceně, kde pro termoelektrické pohony je cena od 400 do 800 Kč, pro servopohony může být cena ještě vyšší. Celková cena za 12 pohonů se pohybuje v řádu jednotek tisíc. Někteří výrobci jako Danfoss nabízejí pro jejich systém zesilovače/opakovače signálu pro bezdrátový systém, v případě špatného průchodu signálu je možné zakoupit toto zařízení, ale nutné počítat s dalšími náklady navíc (řády jednotek tisíc). V případě, že systém neumí ovládat kotel pro dobíjení TUV, případně nesplňuje požadavky, které

..... 2.2. Zónová regulace vytápění

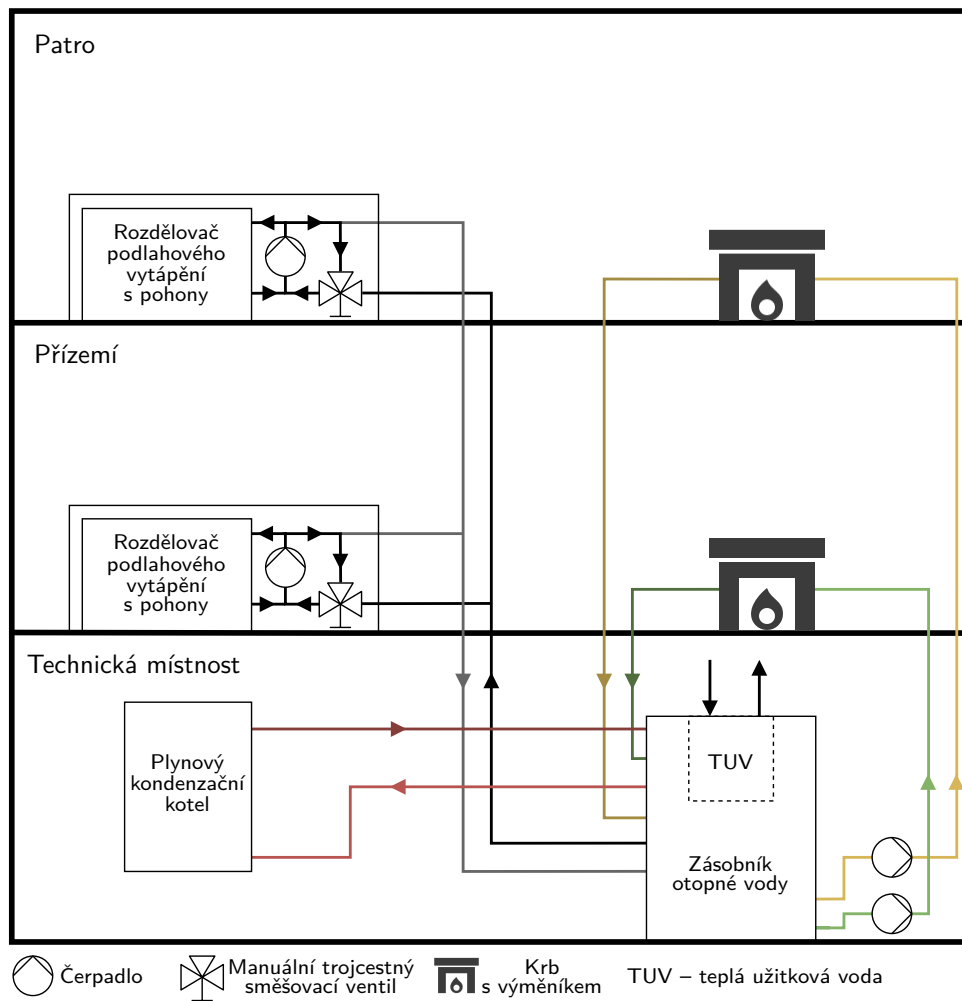
bychom chtěli, pak je nutné využít jiné řešení/systém, což se dále promítá do dalších nákladů a hlavně se jedná o nejednotnost jednoho systému.

Kapitola 3

Návrh konceptu řídicího systému

3.1 Popis celkového konceptu

Otopná soustava domu je zobrazena na obrázku 3.1. Skládá v současné době pouze z jednoho zdroje tepla a to krbů v přízemí a v patře s teplovodními výměníky. Krby s teplovodním výměníkem slouží k ohřevu otopné vody prouducí skrz vložku krbu, které dobíjí zásobník otopné vody. Na každém patře je rozdělovač podlahové topení s 12 otopními okruhy, kde každý okruh se dá ovládat zvlášť (průtok otopné vody). Dále je zde čerpadlo a manuální trojcestný směšovací ventil pro nastavení optimální teploty do podlahového vytápění. Druhým zdrojem tepla je plynový kondenzační kotel, který není v současnosti pořízen, nicméně se s ním počítá do budoucna. Bude sloužit k ohřívání otopné vody, pokud nebudou využiti krby s teplovodním výměníkem, zejména v letním období pro ohřev TUV. Oba zdroje tepla jsou pro ohřívání otopné vody do centrálního zásobníku (objem je 1 500 l). Kde je přibližně v jedné horní třetině výšky zásobníku umístěna nádoba TUV (objem je 120 l). Navržený systém řídí ovládání čerpadel u rozdělovačů podlahové topení, čerpadel pro krby s výměníkem a pohonů pro jednotlivé okruhy podlahové vytápění. K ovládání čerpadel, otopních okruhů dochází při požadavku topení nebo pokud dojde k topení v krbech. Řízení podlahového vytápění respektive pohonů dochází pouze v patře na základě požadavku majitele. Celkově v patře se nachází více obytných místností.



Obrázek 3.1: Otopná soustava v domě.

3.1.1 Hardwarová část

Centrální jednotka je jednoduchový počítač s periferiemi jako ethernetový port, USB (*Universal Serial Bus*), univerzálními vstupy/výstupy, případně s alternativní funkcí pinů jako sběrnice I²C (*Inter-Integrated Circuit*) nebo dalšími typy periferií. Dále by měla disponovat dostatečnou velikostí RAM (*Random Access Memory*) paměti a relativně výkonným procesorem pro snadné zpracování vstupní/výstupních dat či povelů.

Bezdrátové nástěnné snímače prostorové teploty jsou napájeny z lokálních síťových adaptérů, každý modul má své napájení. Nástěnný snímač prostorové teploty se skládá z displeje pro zobrazení aktuální a požadované

teploty a dalších nastavení. Dále ze tří tlačítek pro vstup do menu a tlačítek pro zvýšení/snížení požadované teploty a teplotního senzoru. Komunikace s centrální jednotkou je zajištěna pomocí WiFi modulu skrz WiFi router.

Kabelové nástěnné snímače prostorové teploty jsou napájeny pomocí switche s POE. Nástěnný snímač prostorové teploty se skládá z displeje pro zobrazení aktuální a požadované teploty a dalších nastavení. Dále ze tří tlačítek pro vstup do menu a tlačítek pro zvýšení/snížení požadované teploty a teplotního senzoru. Komunikace s centrální jednotkou je zajištěna skrz zmíněného switche.

Indikátor stavů je propojen přímo s centrální jednotkou, skládá z části indikující stavy pomocí LED (*Light-Emitting Diode*) pro jednotlivé teploty měřené v zásobníku otopné vody rozmístěné v jednotlivých částech nádrže. Dále je zde sběrnice pro komunikaci LCD (*Liquid Crystal Display*) displejem a centrální jednotkou pro zobrazení teplot ze zásobníku, respektive dvou teplot ze spodní části. LED diody a LCD displej jsou umístěny u krbů v každém patře.

Spínací jednotka se skládá z relé modulů pro ovládání jednotlivých čerpadel pro oběh otopné vody do otopných okruhů podlahové vytápění v jednotlivých patrech. Dále jsou zde ovládána čerpadla pro cirkulaci vody z krbových výměníků. V neposlední řadě je zde případné ovládání plynové kondenzačního kotle.

Zónový regulátor je umístěn v daném patře v rozdělovači pro jednotlivé otopné okruhy. Komunikace mezi zónovým regulátorem a centrální jednotkou je pomocí sběrnice. Zónový regulátor ovládá jednotlivé pohony pomocí PWM (*Pulse Width Modulation*) signálu. Pohony jsou přímo připojené na zónový regulátor.

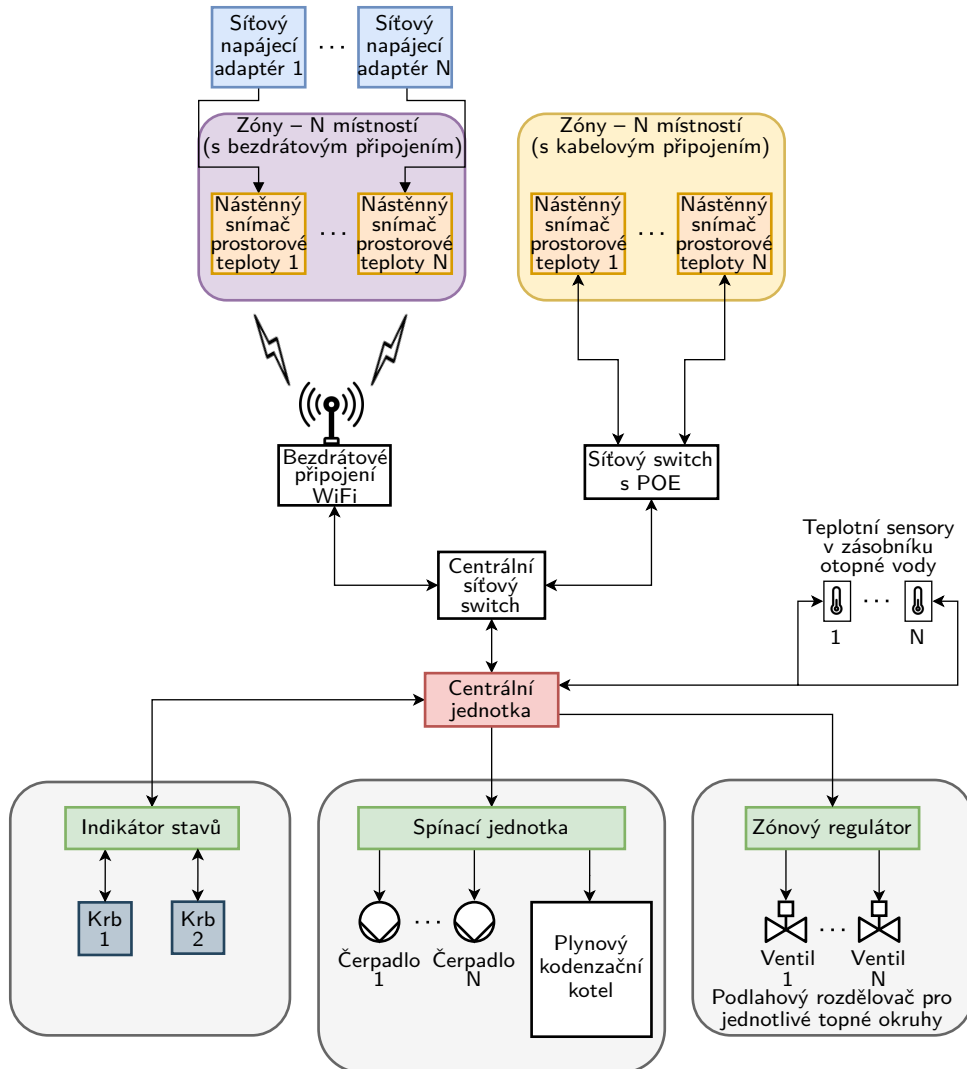
Sítové prvky se skládají z centrálního switche, switche s POE (*Power Over Ethernet*) a domácího WiFi routeru. Centrální switch sdružuje veškerou komunikaci jak z kabelových nástěnných snímačů prostorové teploty, tak i bezdrátových. Bezdrátové nástěnné snímače prostorové teploty jsou připojeny pomocí WiFi routeru a ten následně do centrálního switcha, který přepojuje komunikaci do centrální jednotky. Kabelové nástěnné snímače prostorové teploty jsou připojeny přes switch s POE, který zařízení napájí a přeposílá komunikaci do centrálního switcha, který přepojuje komunikaci do centrální jednotky.

Teplotní senzory v zásobníku otopné vody jsou rozmístěné ve třech čás-

3. Návrh konceptu řídicího systému

tech zásobníku (horní, střední a spodní část). Dále jsou teplotní senzory na kouřovodech u jednotlivých krbů pro detekci topení. Všechny senzory jsou napojeny na jednu sběrnici.

Výše popsaný hardwarový koncept je nakreslen na obrázku 3.2.



Obrázek 3.2: Návrh hardwarové části systému.

■ Teplotní čidla

Jak bylo zmíněno výše, teplotní čidla jsou potřebná na snímání teplot na kouřovodech krbů pro následné sepnutí oběhového čerpadla. Teplota na kouřovodech se může dosáhnout až 300 °C (optimální teplota se však pohybuje

přibližně mezi 120 °C až 240 °C, kdy je nejvyšší účinnost kamen a hoření paliva), proto je nutné zvolit takové čidlo, které je na tyto teploty vhodné. Mezi takové teplotní čidlo patří odporový teplotní senzor (teplotní rozsahy od -240 °C až 600 °C) nebo termočlánek (teplotní rozsahy od -260 °C až 2 300 °C). Pro zjištění teploty není nutná velmi velká přesnost, citlivost, jistým požadavkem je robustnost čidla (nejen ochrana čidla, ale i přívodních kabelů), vzhledem k umístění u krbu, kde je dosahováno vyšších teplot.

Další teplotní senzory jsou nutná pro nástenné teplotní snímače prostorové teploty pro každou místnost, zásobník otopné vody a venkovní čidlo. Teplotní rozsah těchto čidel nemusí být tak vysoký jako u měření teplot na kouřovodech. Teplotní rozsah stačí v řádu desítek stupňů jak pro kladné, tak i záporné hodnoty teploty.

■ 3.1.2 Komunikační část

Komunikace mezi centrální řídicí jednotkou a bezdrátovými i kabelovými nástennými snímači prostorové teploty jsou zajištěny pomocí protokolu MQTT. Centrální jednotka dostává informace z jednotlivých nástenných snímačů prostorové teploty, zároveň je možné některé parametry nastavovat přímo přes centrální jednotku, která následně dané nastavení pošle do daných zařízení.

Indikátor stavů komunikuje s centrální jednotkou pomocí sběrnice I²C pro zobrazení hodnot na LCD displeji. Zároveň je zde přímé připojení na vstupní/výstupní piny centrální jednotky pro ovládání indikačních LED diod.

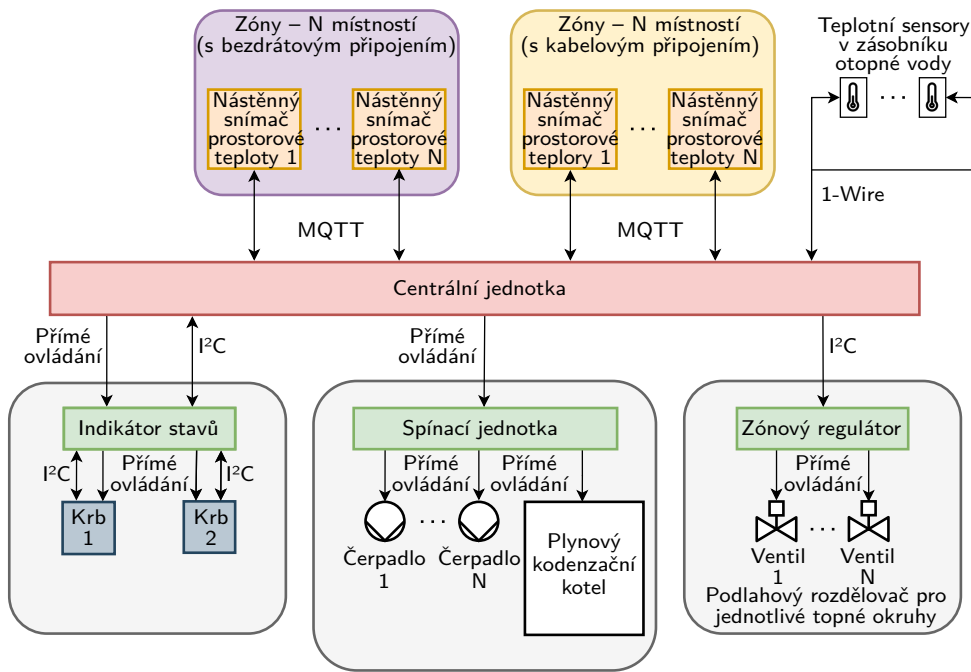
Spínací jednotka je přímo připojena s centrální jednotkou pro spínání daných čerpadel pro podlahové vytápění, čerpadel pro krbové výměníky a kondenzačního plynového kotla.

Zónový regulátor komunikuje s centrální jednotkou pomocí I²C sběrnice, následné ovládání pohonů pro otopné okruhy je přímo zónovým regulátorem.

Teplotní senzory umístěné v zásobníku otopné vody a na kouřovodech krbů komunikují s centrální jednotkou pomocí 1-Wire sběrnice.

Výše popsaný komunikační koncept je nakreslen na obrázku 3.3.

3. Návrh konceptu řídicího systému



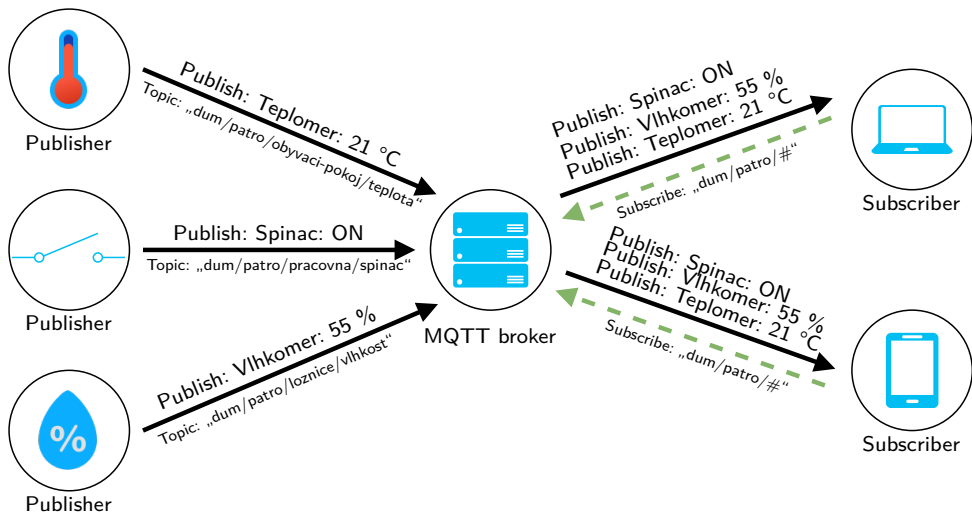
Obrázek 3.3: Návrh komunikační části systému.

■ MQTT protokol

MQTT (*Message Queuing Telemetry Transport*) je jednoduchý a nenáročný M2M (*Machine To Machine*)/„Internet of Things“ komunikační protokol. Protokol je založen na principu předávání zpráv mezi klienty přes centrální server (broker). Centrální server přijímá zprávy od poskytovatele zprávy (tzv. publisher), které následně předává k přečtení čtenářům, kteří tuto zprávu odebírají (tzv. subscribers). Poskytovatel zprávy obvykle představuje nějaký senzor či měřící jednotku, která vysílá naměřené hodnoty na centrální server, zatímco odběratel obvykle tvoří nějaká řídící jednotka, která hodnoty odebírá (přijímá) a dále s nimi pracuje nebo je zobrazuje.

Přenášené zprávy jsou třídy do témat (tzv. topic). Každá zpráva patří právě do jednoho tématu, přičemž téma definuje přímo poskytovatel zprávy. Odběratel pak musí předem znát jméno (označení) tématu, aby se mohlo přihlásit u centrálního serveru k jeho odběru. Odběratel nemusí znát umístění ani komunikační adresu poskytovatele zprávy. Musí jen znát komunikační adresu (umístění) centrálního serveru. Témata jsou hierarchická a oddělena lomítky. Příklad struktury tématu: „dum/patro/loznice/sensor/teplota“, lze tak přehledně roztrídit jednotlivá umístění zařízení a případné rozšiřování

systému je pak snadné. Příklad schématu komunikace a struktury témat je zobrazen na obrázku 3.4.



Obrázek 3.4: Základní funkční schéma MQTT komunikace. Příklad přenosu hodnot do koncových zařízení. Znak # nahrazuje jednu či více úrovní, budou přijímány odběrateli všechny zprávy tykající se prvního patra domu.

Obsahem zprávy není přesně definován. Nejčastěji se používá formát (způsob zápisu) dat JSON (*JavaScript Object Notation*), BJSON (*Binary JavaScript Object Notation*) nebo textové zprávy. Velikost zprávy je pak v aktuální verzi protokolu omezena na necelých 256 MB, ale vzhledem k využití „Internet of Things“ bývá většina zpráv mnohem menší.

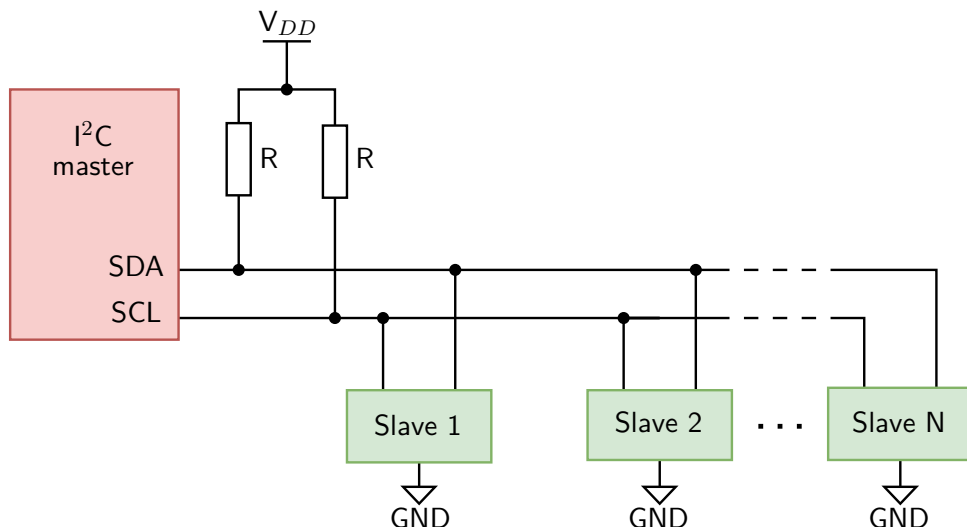
Protokol MQTT popisuje jen samotný popis struktury přenášených zpráv, ale nedefinuje způsob přenosu. K tomu se využívá TCP/IP (*Transmission Control Protocol/Internet Protocol*) protokol. Protokol definuje tři úrovně potvrzování zpráv QoS (*Quality of Service*). QoS 0 – zpráva je odeslána bez potvrzení a není zaručeno její doručení. QoS 1 – poskytovatel zprávy zprávu odešle a přes centrální server je od odběratelů posláno potvrzení, centrální server může poslat potvrzení, aniž by měl potvrzení od všech odběratelů (závisí na implementaci). QoS 2 – poskytovatel zprávu odešle, centrální server pošle poskytovateli zprávy potvrzení o přijetí, na kterou poskytovatel zprávy odpoví potvrzením. Centrální server zprávu smaže a potvrdí zprávou, čímž je komunikace mezi poskytovatelem zprávy a centrálním serverem uzavřena. Tato komunikace probíhá i mezi centrálním serverem a odběrateli.

V přihlašovací sekvenci se využívá identifikace klienta pomocí ID a pak volitelně i pomocí uživatelské jména a hesla. MQTT díky podpoře SSL (*Secure*

Sockets Layer)/TLS (Transport Layer Security) umožňuje přihlášení pomocí klientského SSL certifikátu.

I²C sběrnice

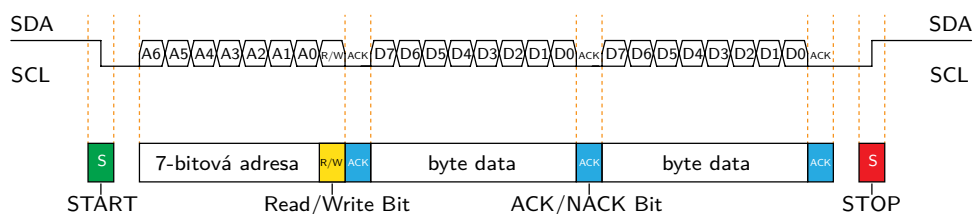
Jedná se o sériovou, synchronní a poloduplexní sběrnici. Komunikace probíhá na dvou vodičích, jeden tvoří hodinový vodič SCL (*Synchronous Clock*) a datový vodič SDA (*Synchronous Data*). Vodiče jsou sdílené mezi připojenými zařízeními, proto je možné aby kdokoliv komunikoval s kýmkoliv (komunikace je v této konfiguraci náročnější na zpracování). Typické zapojení sběrnice je v konfiguraci jeden master, který veškerou komunikaci řídí, a několik zařízení slave, viz obrázek 3.5. Nicméně existuje varianta s více mastery, existuje sada pravidel, jak se musí chovat, aby mohly na sběrnici pracovat společně a neovlivňovaly se. Na vodičích SCL a SDA je připojen pull-up rezistor (R), v neutrálním stavu je na vodičích log. 1. Připojená zařízení po sběrnici komunikují pomocí otevřeného kolektoru (mohou sběrnici stáhnout k zemi (log. 0), po odpojení je na sběrnici opět log. 1).



Obrázek 3.5: Zapojení I²C sběrnice. Jedno zařízení pracuje v režimu master, ostatní zařízení v režimu slave.

Komunikace vždy začíná START sekvencí (na SDA se vygeneruje sestupná hrana, na SCL je držena log. 1) a končí STOP sekvencí (na SDA se vygeneruje vzestupná hrana, na SCL je držena log.). SDA nesmí nikdy měnit svojí hodnotu, když je SCL v log. 1. Přenos jednoho bitu zprávy probíhá, takže SCL je v log. 0, změní vysílač hodnotu SDA na takovou, jakou potřebuje.

Poté nastaví SCL do log. 1. Se vzestupnou hranou pak přijímač čte hodnotu na SDA. Vysílač opět vrátí SCL do log. 0 a celý proces se opakuje s dalším bitem zprávy. Zpráva se skládá z 9 bitů. Prvních 8 bitů je datových a devátý bit je potvrzovací (log. 0 pro potvrzení nebo log. 1 a vysílač z toho vyrozumí, že zpráva není potvrzená). Nejednodušší tvar zprávy se skládá ze START sekvence, 8 bitů, potvrzovací devátý bit a STOP sekvence. Prvních 7 bitů po START sekvenci tvoří adresu zařízení (každý slave má unikátní adresu, jinak dojde ke kolizi) a osmý bit rozhoduje o směru toku dat (zda se bude zapisovat log. 1 či číst log. 0), každý byte se potvrzuje devátým bitem, buď potvrzuje slave, když master posílá data nebo naopak master potvrzuje, když posílá slave. Tak to se potvrzuje až na poslední byte, tím se zařízení dozvídá, že komunikace končí a má uvolnit SDA linku. Poté se odešle STOP sekvence. Zobrazení komunikace je na obrázku 3.6.



Obrázek 3.6: Příklad I²C datové komunikace se 7-bitovou adresací. Upraveno z [30].

Adresace je možná pomocí 7 bitů (128 unikátních adres, číslo je však poníženo ještě o speciální adresy, např. broadcast adresa apod.) nebo 10 bitů (1024 unikátních adres), zde se pak adresy přenáší ve dvou bytech (pro první byte se používá vyhrazená adresa, kde jsou uloženy dva nejvyšší bity adresy, v druhém bytu je dolních osm bitů adresy).

Podle verze sběrnice je frekvenci SCL 100 kHz, 400 kHz, 1 MHz nebo až 3,4 MHz. Rychlosť je pak přizpůsobena nejpomalejšímu zařízení na sběrnici. Pull-up rezistory jsou v rádech jednotek kiloohmů, s rostoucí frekvencí nebo delší vzdálenosti sběrnice se jejich velikosti volí menší.

■ 1-Wire sběrnice

Jedná se o sériovou, asynchronní a poloduplexní sběrnici. Komunikace probíhá na jednom vodiči, dalšími vodiči jsou napájení (V_{DD}) a zem (GND) to je v případě konfigurace pomocí tří vodičů (obrázek 3.7), další typ konfigurace sběrnice je pomocí jen dvou vodičů, kde napájení a komunikace probíhá na jednom vodiči, druhý vodič je zem (obrázek 3.8), během neutrálního

3. Návrh konceptu řídicího systému

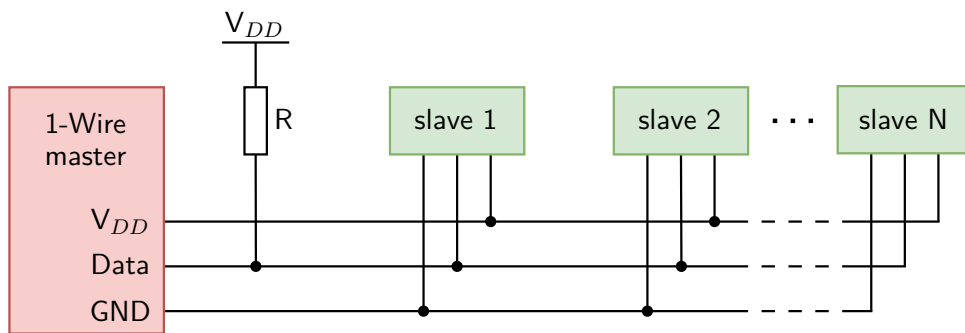
stavu na sběrnici (log. 1) dochází k nabíjení interního kondenzátoru, který se následně chová jako zdroj energie při log. 0 na sběrnici (komunikace), v tomto režimu je nutné splnit vhodné podmínky pro napájení a časování pro správnou komunikaci. Sběrnice se skládá z řídícího obvodu master a jednoho či více připojených zařízení slave. Na vodiči data je připojen pull-up rezistor (R), v neutrálním stavu je na vodiči log. 1. Připojená zařízení po sběrnici komunikují pomocí otevřeného kolektoru (mohou sběrnici stáhnout k zemi (log. 0), po odpojení je na sběrnici opět log. 1).

Komunikaci zahajuje vždy master reset pulsem. Dojde ke vygenerování sestupné hrany na datovém vodiči na log. 0 po dobu minimálně 480 µs. Pak master sběrnici uvolní (opět se objeví log. 1) a naslouchá. Pokud je na sběrnici připojené zařízení, tak detekuje tuto vzestupnou hranu a po prodlevě (15–60 µs) vygeneruje na sběrnici po dobu 60–240 µs log. 0. Průběh komunikace je zobrazen na obrázku 3.9a. Pokud se zařízení správně ohláší, může master začít vysílat a přijímat data, která jsou vysílána v tzv. time slotech. Slot je dlouhý 60–120 µs a během jednoho slotu je vyslán nebo přijat jeden bit informace. Mezi jednotlivými sloty musí být minimálně 1 µs mezera, kdy je sběrnice v klidu.

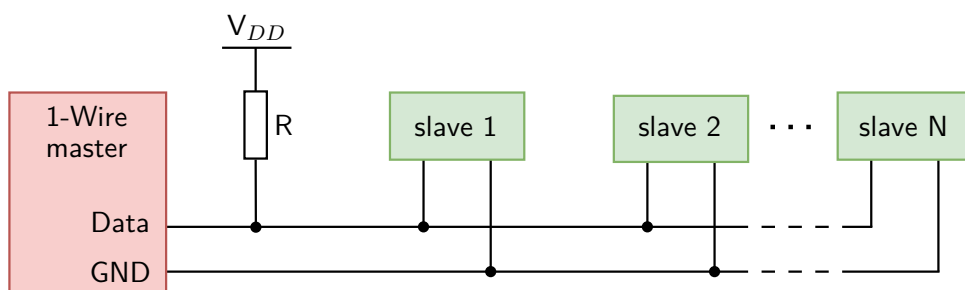
Existují 4 ruhy slotů: zápis 1, zápis 0, čtení 1 a čtení 0. Sloty pro zápis slouží k tomu, aby master vyslal data do zařízení. Zápis 1 probíhá tak, že master vygeneruje na sběrnici log. 0 minimálně na 1 µs a nejpozději do 15 µs od začátku ji opět uvolní a ponechá volnou. Zápis 0 probíhá tak, že master vygeneruje na sběrnici log. 0 a ponechá ji tak po celý slot, tedy minimálně 60 µs. Zařízení vzorkuje stav na datovém vodiči zhruba 30 µs po začátek time slotu. Průběh komunikace je zobrazen na obrázku 3.9b.

Čtecí sloty inicializuje master, vygeneruje na sběrnici log. 0 na minimálně 1 µs a opět ji uvolní. Po tomto zahájení může zařízení vyslat 1 bit, ponechá sběrnici v klidu (log. 1) nebo je vygeneruje na log. 0. Průběh komunikace je zobrazen na obrázku 3.9c.

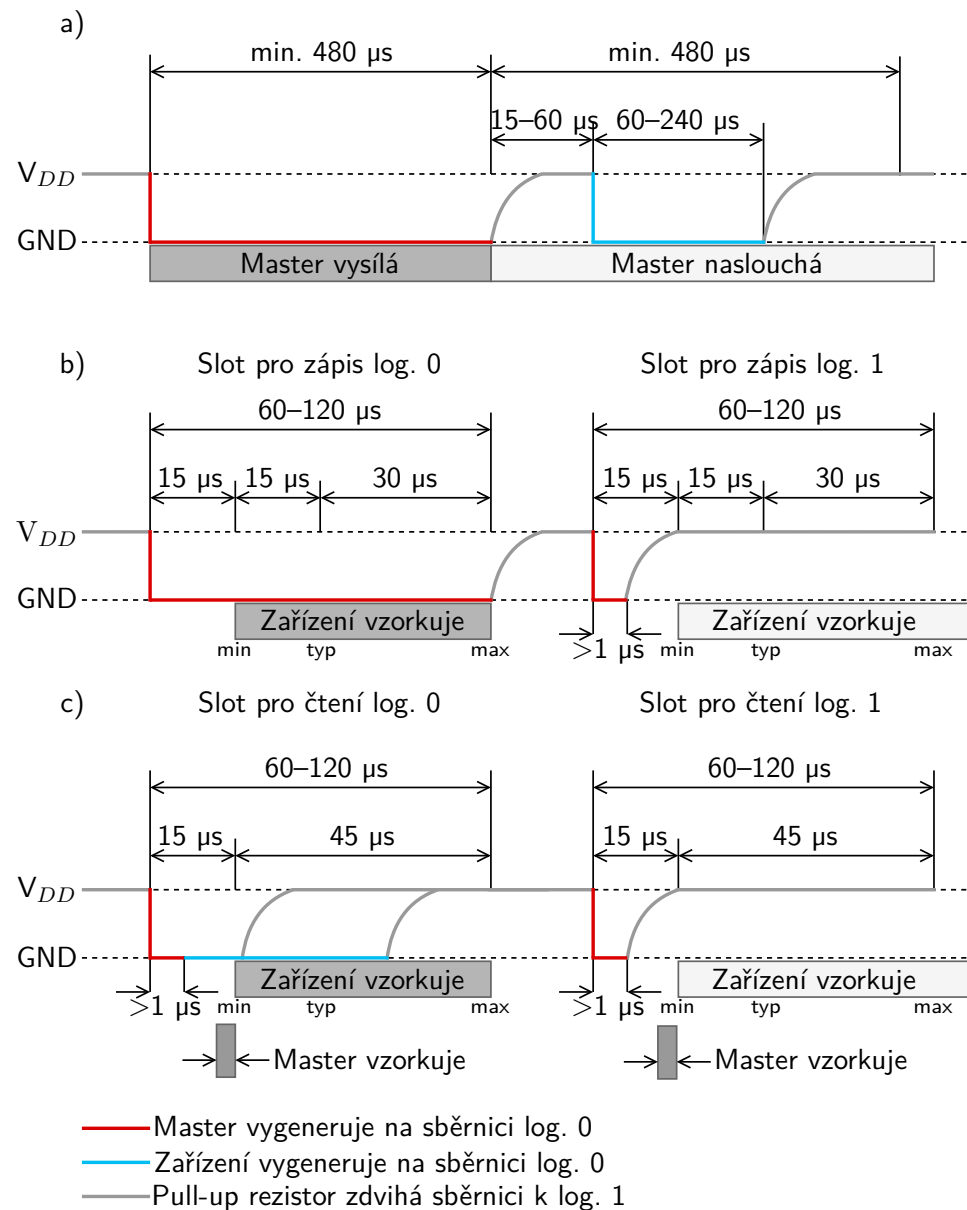
Každé zařízení má v sobě paměť ROM (*Read Only Memory*), která obsahuje 64bitové unikátní číslo, které slouží k odlišení jednotlivých zařízení na sběrnici. Po RESET pulsu je třeba vyslat příkaz Match ROM, pak 64bitový kód zařízení, se kterým se má pracovat, a teprve poté se posílá příkaz.



Obrázek 3.7: Zapojení 1-Wire sběrnice ve trojvodičovém provedení.



Obrázek 3.8: Zapojení 1-Wire sběrnice ve dvouvodičovém provedení.



Obrázek 3.9: Průběhy na sběrnici 1-Wire. a) Reset. b) Zápis dat. c) Čtení dat.
Upraveno z [31].

3.2 Řídicí systém

V současné době existuje poměrně dost open-source projektů pro monitorování a ovládání domácí automatizaci. Do které lze zařadit inteligentní řízení vytápení. Mezi velké projekty lze jmenovat systém Home Assistant a OpenHab. Oba jsou poměrně podobní, liší programovacím jazykem, který je použit

pro jejich systémové jádro, dále syntaxí pro zápis automatizací, množstvím integrovatelných zařízení (vytvořené API (*Application Programming Interface*) pro snadné spárování), vydáváním aktualizací, složitostí vytváření či přidávání zařízení do systému, přehlednou a dostupnou dokumentací a uživatelskou základnou, případně dalšími vlastnostmi. Na základě zkušenosti se systémem Home Assistant jak z pohledu dobré zkušenosti ze strany komunity, široké nabídky možnosti nastavení a relativně rychlou tvorbou automatizace jsem tento systém zvolil pro řízení vytápění rodinného domu.

■ 3.2.1 Home Assistant

Home Assistant (dále jen HA) je systém naprogramovaný v jazyce Python 3 a podporuje mnoho technologií používaných v oblasti domácí automatizace. HA podporuje několik stovek zařízení či služeb (obecně komponent) od desítek velkých firem. Přesněji sdružuje jejich společné ovládání a vzájemnou propojenosť automatizací. Vše je tak na jednom místě a možné ovládat přes jednoduché grafické rozhraní.

Všechna data jsou uložena na vlastním úložišti, tedy vlastním počítači, nasu, Raspberry Pi apod. Není tedy potřeba zakládat účet pro využívání služeb (některé služby však potřebují internetové připojení pro stahování informací např. předpověď počasí) a posílat data třetím stranám.

Systém se skládá ze samotné aplikace HA a z operačního systému na kterém HA běží. HA je možné nainstalovat na systém Linux, Windows, macOS. Též je přímá oficiální podpora pro Raspberry Pi, Asus Tinkerboard, Odroid a Intel NUC, nicméně funkčnost lze najít i pro jiná zařízení. Existují čtyři varianty instalace systému, liší se nutnými zkušenostmi pro správu HA tak i operačního systému, možnostmi správy aktualizací či obnovování, vracení nastavení, dále způsoby zálohování, možnostmi operačního systému (zda je předinstalován omezený OS nebo se jedná o plnohodnotnou verzi) v neposlední řadě, zda je využit kontejner Docker či je HA nainstalován přímo v operačním systému, nebo lépe při využití virtuálního prostředí.

■ Architektura Home Assistantu

Obecně není stanoven otevřený standard pro komunikaci inteligentních zařízení. Tato skutečnost zamezuje vzájemnou komunikaci mezi zařízeními

3. Návrh konceptu řídicího systému

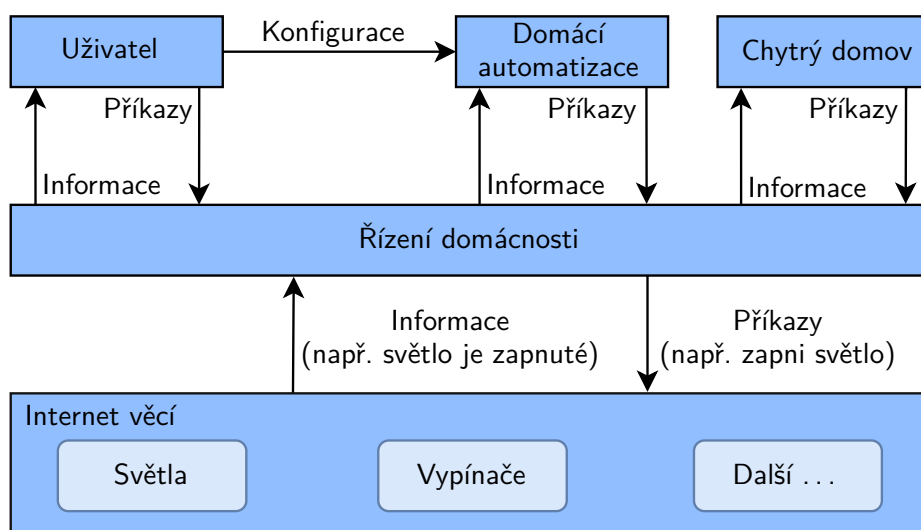
a především většina zařízení není určena k řízení jiných zařízení. V HA se takové zařízení, která spravuje všechny ostatní nazývá **rozbočovač**.

Minimum, co by rozbočovač měl umět, je sledovat stav připojených zařízení a schopnost je řídit. Například u světel nás zajímá informace, zda jsou rozsvícená či nikoliv a umožnit změnit jejich stav. U senzoru sledujeme jeho hodnotu. Rozbočovač s těmito možnostmi umožňuje **řízení domácnosti**.

Jistým krokem k domácí automatizaci je spuštění **uživatelsky nadefinovaných nastavení** na základě informací z domácí vrstvy řízení (například zatažení žaluzií při nadměrném osvícení slunečními paprsky). Rozbočovač s těmito schopnostmi je schopný **domácí automatizace**.

Poslední kategorie, která je stále v budoucnu se nazývá **chytrý domov**. Samoučící a adaptivní systém, který rozhoduje, která událost by měla ovlivnit jiná zařízení.

Výše popsaný přehled řízení domácí automatizace HA je na obrázku 3.10.

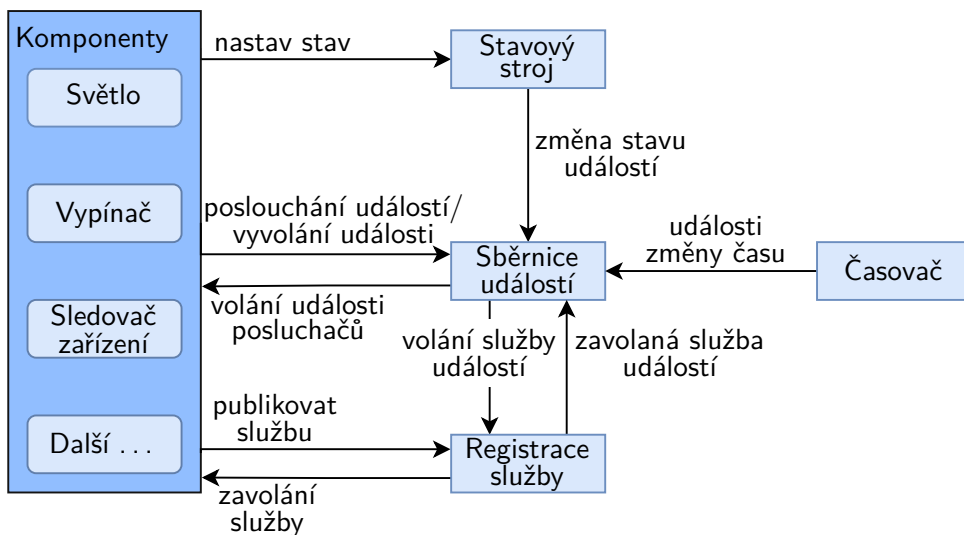


Obrázek 3.10: Přehled řízení domácí automatizace HA. Upraveno z [32].

■ Jádro architektury Home Assistant

Jádro HA odpovídá za řízení domácnosti. Skládá ze čtyř části, které to umožňují (obrázek 3.11):

- Sběrnice událostí – umožňuje vyvolání a poslech událostí – „srdce“ HA.
- Stavový stroj – sleduje stav zařízení a spustí **změnu stavu** událostí, pokud došlo ke změně.
- Registr služeb – poslouchá sběrnici událostí pro **volání služby** událostí a umožňuje jinému kódů registrat služby.
- Časovač – posílá události **změny času** každou jednu sekundu na sběrnici událostí.

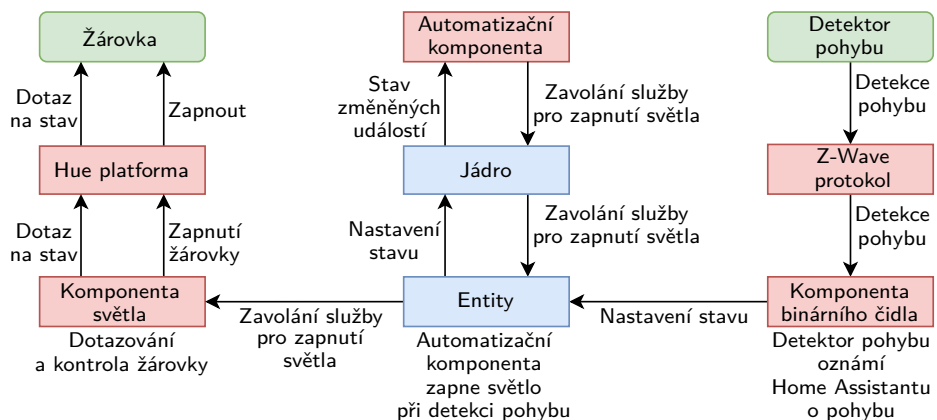


Obrázek 3.11: Jádro architektury HA. Upraveno z [32].

■ Architektury komponent

HA je možné rozšiřovat přes tzv. komponenty. Každá komponenta odpovídá za určitou oblast v rámci HA. Komponenty mohou poslat spouštěcí události, nabízet služby a řídit/měnit stavy. Komponenty jsou napsány v Pythonu. Sám HA nabízí několik stovek takovýchto komponent k použití. Znázornění využití komponent je na obrázku 3.12.

3. Návrh konceptu řídicího systému



Obrázek 3.12: Znázornění využití komponent v HA. Upraveno z [32].

Jsou zde dva typy komponent. První typ, které interagují se zařízeními „Internet of Things“ (například inteligentní žárovky). Druhý typem jsou komponenty, které reagují na událost ke kterým dojde v HA (například nastavená automatizace).

3.2.2 Intelligentní část systému

Pro co největší využití centrálního řízení podlahového vytápění je vhodné využít různé metody pro její optimalizaci, což se následně promítne do nákladu energie, taktéž i do teplotního komfortu uživatelů. Velmi častá situace je, že domy jsou vytápěny podle momentální teploty. Toto řešení není ideální, zejména v zateplených domech, případně s podlahovým topením. Problémem jsou hlavně podzimní a zimní dny, kdy teplota nad rámem prudce klesne. Reakce vytápěcího systému je poměrně rychlá a začne přitápět. Vzhledem k setrvačnosti otopné soustavy a to především u podlahového topení dojde k pomalé teplotní změně, než se dané nastaví projeví, ranní mrazík mezitím zmizí. Opačný problém může nastat odpoledne, kdy začnou sluneční paprsky pražit do oken, címž máme nepříjemně přetopeno. Výsledkem je nepříjemný uživatelský komfort a zbytečná platba za energie.

Jednou z metod je využití předpovědi počasí, kdy dopředu víme teplotní předpověď, kterou můžeme začlenit do teplotních programů (časově nastavený úsek pro vytápění) definované uživatel a na základě předpovědi se rozhodnout, zda je nutné v místnosti přitápět dříve v případě snížení venkovní teploty nebo naopak s vytápěním počkat.

Samoučící funkcí lze dosáhnout pro každou místnost optimální zahájení vytápění, kdy systém si danou místnost „osahá“ a rozhodne, jak dlouho bude vytápění trvat na danou teplotu. Tím lze eliminovat nepříjemný uživatelský komfort, kdy v daný čas není nastavena požadovaná teplota.

Výhodnou funkcí je detekce otevřeného okna. V případě otevření okna, dojde k poklesu vnitřní teploty místnosti, tento pokles lze vyhodnotit a lze tak zakázat vytápění pro danou místnost, dojde tak k úspoře zbytečně vynaložených nákladů.

Co se týče nastavení teplot pro vytápění, jsou zde dvě možnosti, využití takzvaného manuálního režimu, kdy na základě nastavené teploty se vytápění jednotlivé místnosti, uživatel si musí vytápění zapínat na základě svých potřeb (tím se značně eliminuje inteligentní část vytápění), lze daný režim rozšířit o zapínání v daný čas a topit po definovanou dobu. Druhou možností je vytápění podle uživatelsky definovaných časových pásmech po celý týden, tím lze zajistit optimální vytápění pro konkrétní hodiny, kdy se v domě někdo nachází, vše je automatizované podle všedních zvyklostí. Dalšími možnostmi je například snížení teploty v noci na uživatelsky komfortní teplotu, kdy dochází k temperování teploty po celou noc na nižší teploty, čím lze v ranních hodinách zajistit poměrně rychlé vytopení na danou teplotu pro ranní vstávání a zajistit, tak příjemný ranní teplotní komfort. V období, kdy dům po určitou dobu nikdo neobývá, zejména v období dovolené, lze nastavit režim dovolená a temperovat dům na nižší teploty, po návratu opět dojde k přenastavení do klasického režimu.

Další nutná funkce pro řízení je dobíjení TUV. Tato volba se hlavně týká teplých měsíců. Proto je nutné mít podobné režimy pro dobíjení jako výše popsané pro vytápění.

Pokud je v domě více zdrojů tepla, pak je nutné přihlédnout k provozní ceně těchto zdrojů, zejména tedy použitého paliva. V mém případě se jedná o plynový kondenzační kotel (zatím ještě nepořízen) a krby s teplovodním výměníkem. Je nutné optimalizovat, kdy se jaký zdroj má použít. Primárním cílem je použití krbů, kvůli současné cenné dřeva. Proto je nutné upozorňovat uživatele, zda je nutné topit, například podle teplotních plánů či naopak přestat topit kvůli naakumulovaní celého zásobníku otopné vody. V případech, kdy uživatel nezačal topit (z důvodu, že není přítomen nebo se jedná o noc), pak systém by měl rozhodnout, zda použije plynový kondenzační kotel, který je samoobslužný.

Část II

Praktická část

Kapitola 4

Výběr komponent/zařízení

Na obrázku XXX je nákres otopné soustavy včetně jednotlivých zařízení pro ovládání této soustavy včetně ovládání podlahové vytápění. Nyní popíší jednotlivá vybraná či navržená zařízení z nákresu.

4.1 Centrální jednotka Raspberry Pi

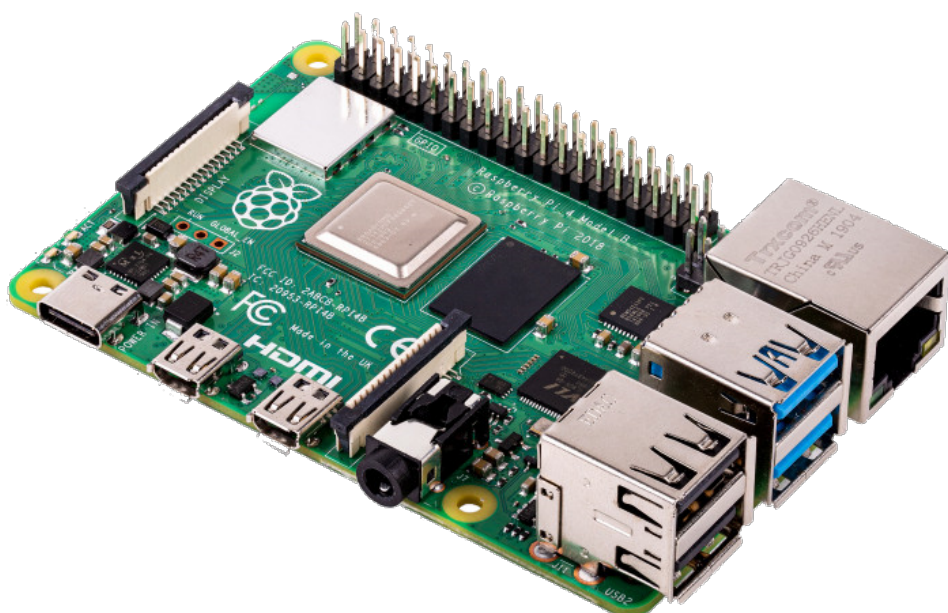
Pro centrální řídicí jednotku jsem vybral jednodeskový počítač Raspberry Pi model 4. Důvodem pro vybraní byla přímá podpora HA, velká uživatelská základna, která toto zařízení používá (nejen s HA, ale i s jiným softwarem), nízká a relativně vysoký výkon. V neposlední řadě na pozadí HA běží linuxová distribuce, takže ovládání je stejně jak při použití běžných desktopových verzí. Přehled specifikace zařízení je v tabulce 4.1. Samotné Raspberry Pi je na obrázku 4.1. Samozřejmě může vzniknout úvaha nad odolností tohoto zařízení např. vůči vnějšímu rušení, samotného rušení zařízení apod. Co se týče nasazení takového zařízení, většinou výrobci uvádějí že se jedná o vývojové zařízení, které není určeno do koncového zařízení nebo případně splňují základní certifikace ochrany. Průmyslovou certifikaci nesplňují nebo se na trhu nacházejí zařízení, které se průmyslovou aplikací chlubí (zde je nutné důkladně pročistí všechnu technickou dokumentaci), pak dále skutečně stojí za zvážení o jakou certifikaci se jedná, v jaké části průmyslu lze toto zařízení nasadit, ale i tak to může být dost velký risk. Ve většině případů je však nutné provést hardwarovou úpravu pro vysokou odolnost proti rušení, robustnost běžícího real time systému, RTC, typ paměti pro ukládání dat (typ média), životnost, technická podpora a mnohé další. V domácích podmínkách nejsou

4. Výběr komponent/zařízení

nutné všechny požadavky jako v průmyslu, nicméně je nutné minimálně hledět na ESD ochranu připojených periferií především u sběrnic, které jsou na delší vzdálenosti a způsob ukládání dat z pohledu životnosti paměťového média. Pro ESD ochranu jak samotného Raspberry Pi, tak i koncových zařízení je nutné zapojit mezi kably sběrnice a zařízení ESD chrany (takové ochrany jsou navrženy a popsány níže). SD kartu pro ukládání a běh samotného systému je vhodné změnit za médium s větší životností, lze využít například domácí NAS a data ukládat do databáze, SD kartu používat pouze pro systém či USB flash disk. Případně zajistit postup s předpřipravenou zálohou pro obnovu nefunkčního systému apod.

Procesor	Broadcom BCM2711 quad-core Cortex-A72 (ARM v8) 64-bit, 1,5 GHz
RAM	4 GB LPDDR4
Konektivita	2,4 GHz a 5,0 GHz IEEE 802.11b/g/n/ac LAN, Bluetooth 5,0, BLE Gigabit Ethernet 2 × USB 3.0 ports 2 × USB 2.0 ports
GPIO	2 × 20 pinový header
Video a zvuk	2 × micro HDMI porty MIPI DSI displejový port MIPI CSI kamerový port čtyřpolový stereo audio a kompozitní video port
Podpora SD karty	Micro SD slot (pro systém a data)
Napájení	5 V DC přes USB-C konektor (minimum 3 A) 5 V DC přes GPIO header (minimum 3 A, bez vstupních ochran)

Tabulka 4.1: Přehled vybavení Raspberry Pi 4 modelu B [9].



Obrázek 4.1: Raspberry Pi 4 model B. Upraveno z [33].

4.2 Teplotní senzory pro krby

Pro snímání teploty z kouřovodů u krbů slouží termočlánek typu K od výrobce Guenther. Teplotní rozsah je od -100 °C do 400 °C, takže je dostatečná teplotní rezerva. Průměr kovové ochranné trubičky je 4 mm s délkou 60 mm. Přívodní kabel je dlouhý 3 m se skelným opletením. Termočlánek je zobrazen na obrázku 4.2.



Obrázek 4.2: Termočlánek 72-21301041 typu K [34].

■ 4.3 Teplotní senzory na 1-Wire sběrnici

Pro snímání teplot z centrálního zásobníku otopné vody, venkovní teploty a prostorových teplot z jednotlivých místností slouží teplotní senzor DS18B20 od výrobce Maxim. Umožňuje měřit v teplotním rozsahu od -55°C do $+125^{\circ}\text{C}$. V rozsahu od -10°C do $+85^{\circ}\text{C}$ měří s přesností $\pm 0,5^{\circ}\text{C}$. Senzor umožňuje měřit teplotu s přesností 12 bitů. Pro komunikaci využívá 1-Wire sběrnici (způsob komunikace je popsán v ?? v části 1-Wire sběrnice). Ve svém konkrétním řešením využívám senzory v pouzdře TO-92 pro nástenné teplotní snímače prostorové teploty, pro centrální zásobník otopné vody a venkovní teplotu je senzor zapouzdřen do ochranného pouzdra.

■ 4.4 DPS se vstupy/výstupu pro Raspberry Pi

■ 4.4.1 Datová část 1-Wire sběrnici

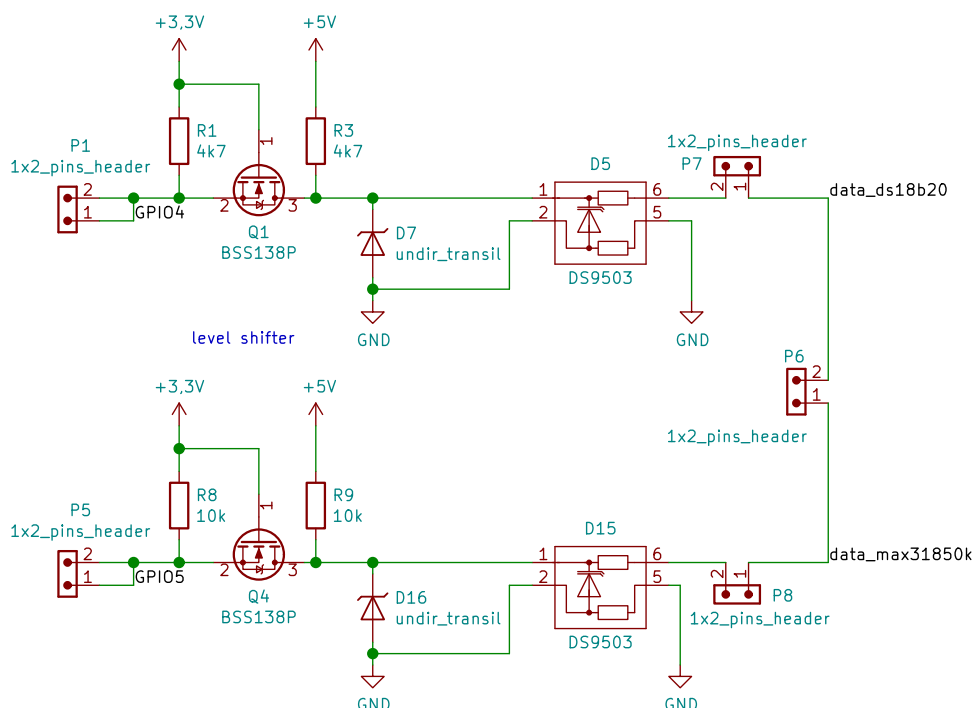
Pro zmíněnou 1-Wire sběrnici jsou realizované ESD ochrany spočívající použití Zenerovy diody a $5\ \Omega$ rezistorů, všechny součástky jsou zaintegrované v jednom pouzdře TSOC, integrovaný obvod je od výrobce Maxim s označením DS9503. Integrovaná Zenerova dioda má nízkou kapacitu desítky pF, tím pádem nepřispívá k nadmernému kapacitnímu zatěžování sběrnice. Omezovací rezistory slouží k omezení proudu při přepěťovém napěťovém impulzu pro ochranu Zenerovy diody (když je otevřena) před nadmerným proudem během ESD události, při běžné komunikace jsou zanedbatelné. Upínací napětí Zenerovy diody je 5,5 V při 0,9 A (průrazné napětí je přibližně 11 V) během ESD události. Dále je zde zařazena TVS dioda (ESD9L5.0ST5G) s upínacím napětí maximálně 9,8 V při 1 A, slouží jako sekundární ochrana pokud by selhala část s DS9503.

Další možností je použití galvanického oddělení především pomocí optočlenu. Zde však nastává problém s obousměrnou poloduplexní komunikací, je potřeba zajistit komunikaci oběma směry. Optočleny vkládání zpoždění, které by podle specifikace 1-Wire sběrnice nemělo přesáhnout 1 μs . Dále je potřeba oddělený převodník napětí či samotný zdroj pro napájení oddělených částí optočlenu a další potřebné externí součástky. V neposlední řadě je nutné, alespoň podle výrobce Maxim použít převodník UART na 1-Wire či I²C na 1-Wire sběrnici. Řešení pomocí galvanického oddělení ve výsledku zesložitují řešení a též

prodražuje. Vzhledem k domácímu nasazení jsem se rozhodl zvolit variantu podle obrázku 4.3.

Vzhledem k toleranci napěťové úrovně 3,3 V pro piny u Raspberry Pi, je navržen obousměrný převodník napěťových úrovní z 3,3 V na 5 V a opačně, realizovaný pomocí MOSFET tranzistoru (BSS138P,215), pull-up rezistorů.

Na obrázku 4.3 jsou vidět dvě větve pro 1-Wire sběrnici, je to z důvodu dvou typů zařízení, teplotních čidel DS18B20 a zesilovače s termočlánkem, které mají různé časové, popsáno více níže. Sběrnici, lze sdružit do jedné pomocí propojky P6.

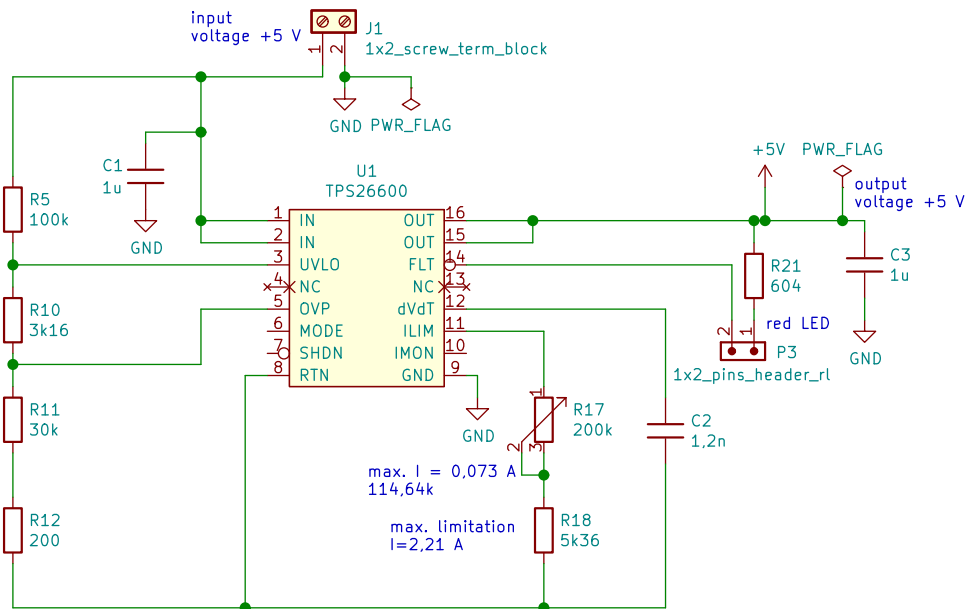


Obrázek 4.3: ESD ochrany pro 1-Wire sběrnici s převodním napěťových úrovní. Kolíková lišta P1, P5 je připojena na Raspberry Pi.

4.4.2 Napájení 1-Wire sběrnice

Pro ochranu napájení 1-Wire sběrnice (5 V) jsou veškerá koncová teplotní senzory napájené přes elektronickou pojistku od Texas Instrumenst s označením TPS2600, obrázek 4.4. Která zajišťuje ochranu pro vstupní napětí, hlídá maximální hodnotu vstupního napětí do nastavené meze 5,25 V (maximální hranice je 60 V), minimální vstupní napětí do nastavené meze 4,75 V (mini-

mální hranice je -60 V). Vstupní omezení napětí je pomocí rezistorů R5, R10, R11 a R12. Omezovací proud je nastaven na přibližně 73 mA (hodnotu lze změnit přes potenciometr R17), při jeho překročení dojde k odpojení výstupu pod dobu dokud nedojde k odstranění závady. Kondenzátor C2 nastavuje rychlosť náběhu výstupního napětí. Pro indikaci chyb napájení je zde červená LED.



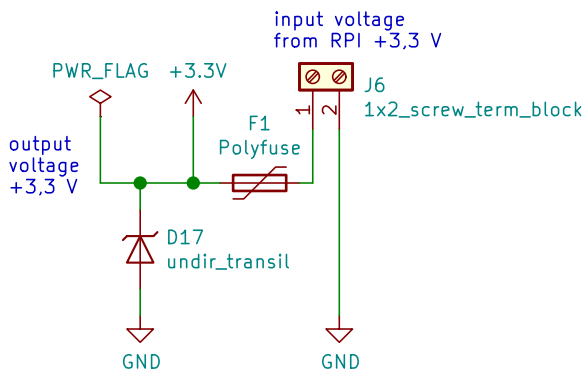
Obrázek 4.4: Obvod TPS26600 pro ochranu napájení 1-Wire sběrnice.

■ 4.4.3 Ochrana pro chodbové nástěnné snímače prostorové teploty

Obdobně jako v části 4.4.1 je stejná ochrana pro snímání log. úrovně z chodbových nástěnných snímačů prostorové teploty.

■ 4.4.4 Ochrana napájení 3,3 V

Přímo z Raspberry Pi je využito napětí 3,3 V pro převodník napětí, popsaný v části 4.4.1. Zde je použita vratná pojistka polymerový PTC se spínacím proudem 100 mA, pro omezení proudu v případě poruchy, dále je zde transilová dioda pro ochranu při přepětí (s upínacím napětím max. 6,5 V (při 25 A, 10/1000 μ s), průrazné napětí 3,6 V). Na obrázku 4.5 je zobrazena popsaná ochrana.



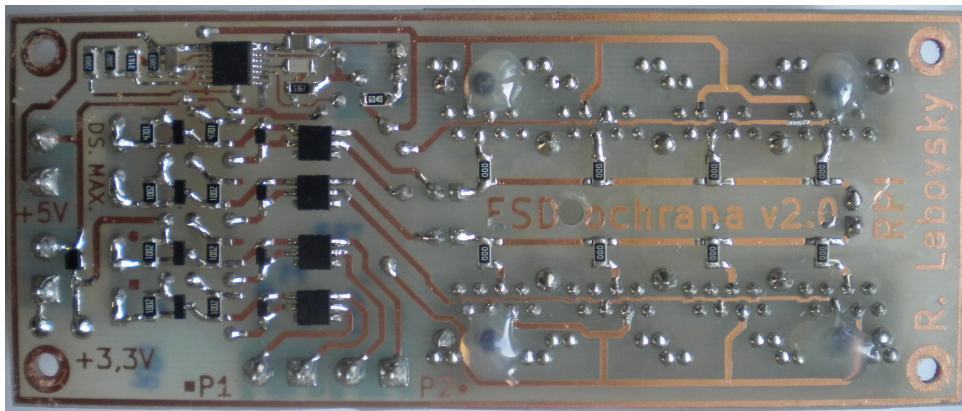
Obrázek 4.5: Ochrana pro napájení 3,3 V z Raspberry Pi.

■ 4.4.5 Způsob realizace 1-Wire sběrnice

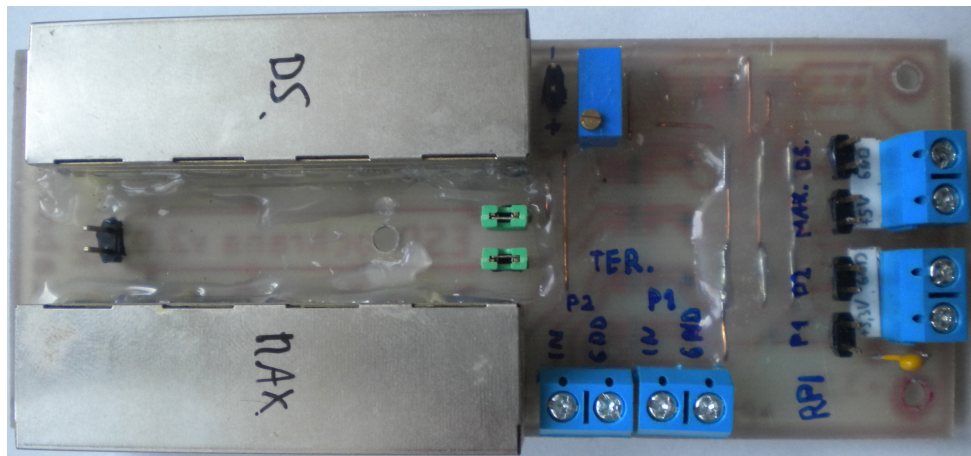
Samotná 1-Wire sběrnice je realizovaná pomocí UTP kabelu kategorie cat5e. Na pinu číslo 4 jsou DATA, na pinu 5 je zem (GND) a na pinu 3 je napájení 5 V. Ze samotné DPS je sběrnice vyvedena pomocí konektorů RJ45, 4 konektory pro teplotní senzory DS18B20 a 4 pro termočlánky s MAX31850K.

■ 4.4.6 Realizovaná DPS ochran pro centrální jednotku Raspberry Pi

Na obrázku 4.6 a 4.7 je realizovaná deska plošných spojů pro vstupy/výstupů pro centrální jednotku Raspberry Pi. Deska byla vlastnoručně navržena, vyrobena a osazena. Je aplikován ochranný lak, na vrchní propojky byl též aplikován ochranný lak a následně zakryty tavnou plastovou hmotou.



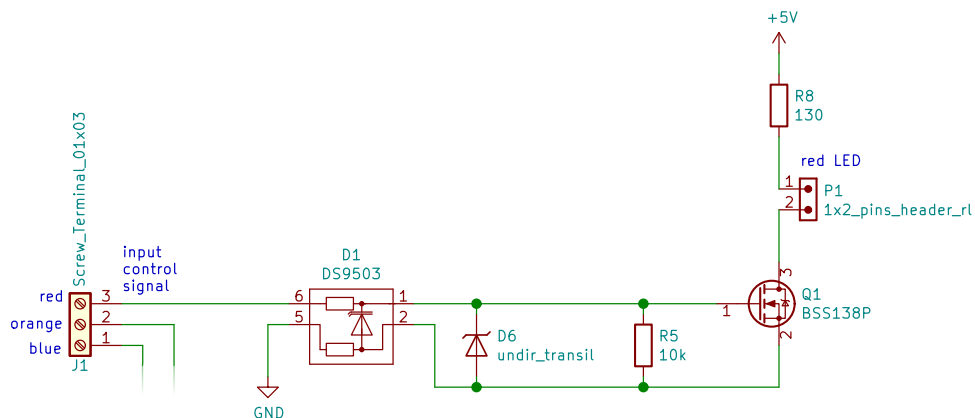
Obrázek 4.6: Spodní část DPS pro ochranu vstupů/výstupů pro Raspberry Pi.



Obrázek 4.7: Vrchní část DPS pro ochranu vstupů/výstupů pro Raspberry Pi.

■ 4.5 DPS u krbů

Navržená DPS se skládá z části elektronické pojistky TPS2600, zapojení je obdobné jako v 4.4.2, navíc je na vstupu připojena transilová dioda (ESD9L5.0ST5G). Napěťové meze jsou nastaveny stejně, tedy minimální napětí je 4,75 V, maximální 5,25 V, proud je omezen na maximální hodnotu 100 mA. Dále je zde přivedena 1-Wire sběrnice přes konektor RJ45 s obdobnými ochranami jako v 4.4.1, včetně stejných ochran pro napájení, pro připojení MAX31850K přes svorkovnici. V neposlední řadě je zde vstupy pro ovládání třech LED pro signalizaci (obrázek 4.8), jak je moc naakumulovaná zásobník otopné vody, modrá led signalizuje stav horní části zásobníku, oranžová LED je pro střední část, červená je pro signalizaci spodní části. Vstupní část je chráněná přes DS9503 a transilovou diodou (ESD9L5.0ST5G). Sepnutí LED je přes tranzistor BSS138P,215. Obdobně jsou řešené i oranžová a modrá LED.

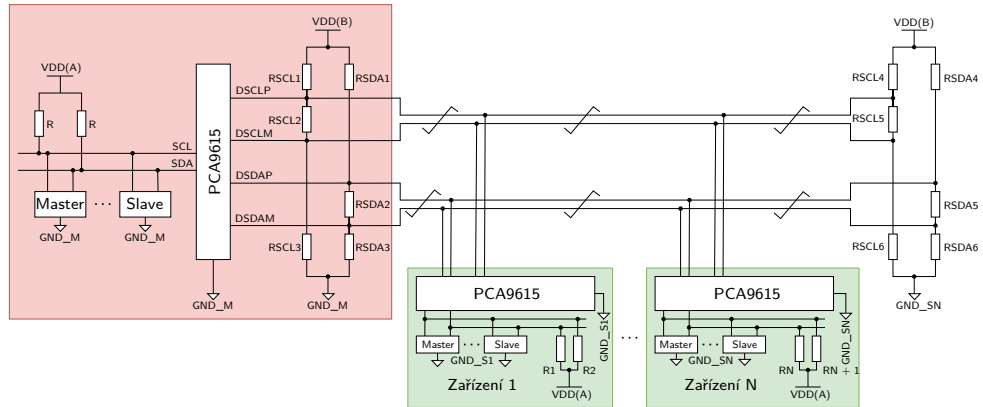


Obrázek 4.8: Zapojení pro ovládání signalizační červené LED.

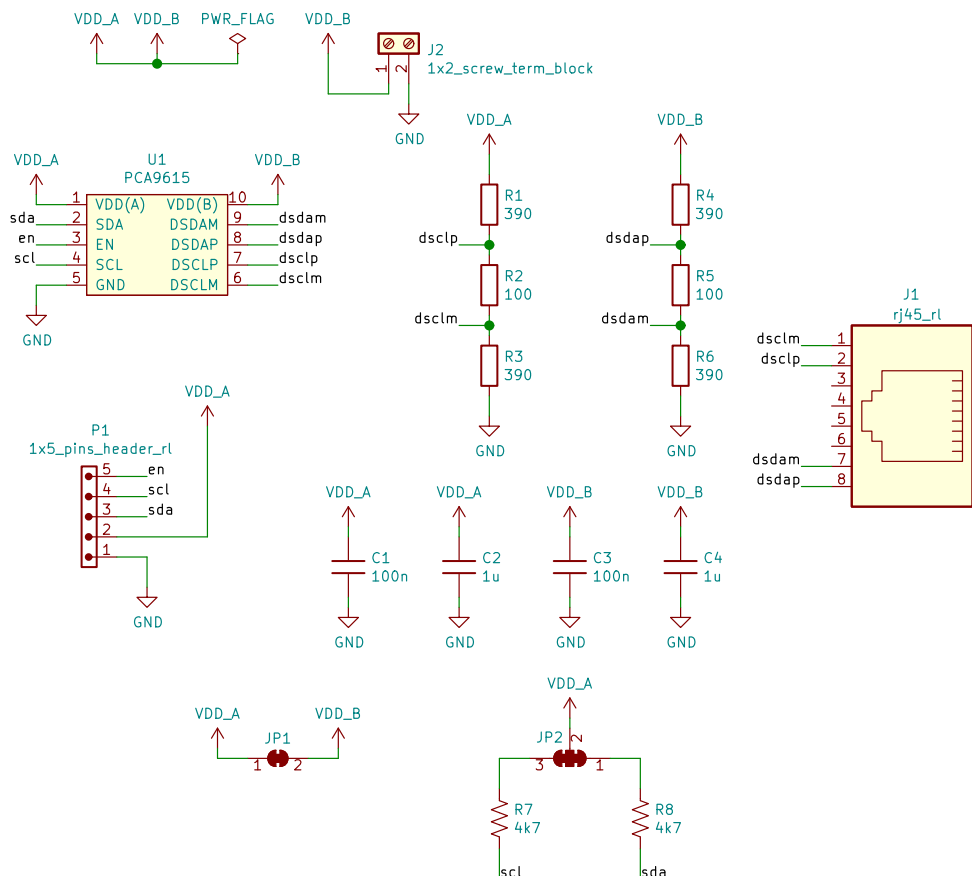
■ 4.5.1 I²C sběrnice

Sběrnice I²C je realizovaná pomocí zakoupeného modulu s obvodem PA9615 do firmy NXP Semiconductors. Vstupní signál SCL a SDA je veden přímo z centrální jednotky na vstupu obovodu PA9615, napájení je s 3,3 V logikou. Výstup z PCA9615 je pomocí diferenciální vedení, pro každý signál SCL a SDA jsou použity dva vodiče. Napájení na této straně je pomocí 5 V. Sběrnice je realizovaná pomocí UTP cat5E, výstup z modulu je realizován pomocí konektoru RJ45, modulu je na obrázku 4.11. Jeden modul se nalézá na straně centrální jednotky a pak na straně krbů. Napájení pomocí 5 V je realizováno pomocí samostatných kabelů, není tedy součástí UTP kabelu. Z důvodu omezení kabeláže je sběrnice realizována v jednom UTP kabelu s 1-Wire sběrnicí, tedy přesněji jsou využity volné vodiče s číslem 1,2 pro SCL a 7, 8 pro SDA. Zařízení lze zapojovat jak na straně před PCA9615, tak i na diferenciální straně, je však výhodné připojené uzly udržet co v nejkratší vzdálenosti kvůli degradování výkonu.

4. Výběr komponent/zařízení



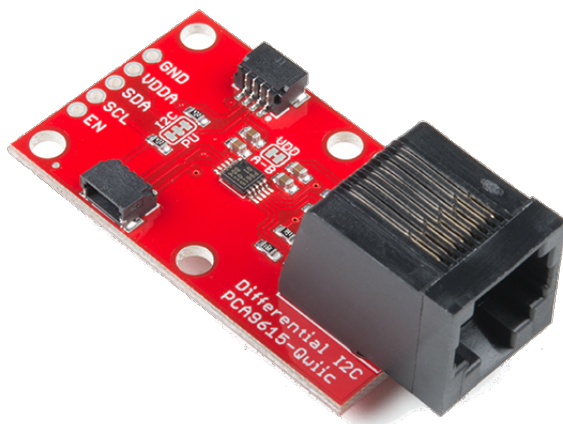
Obrázek 4.9: Blokové schéma zapojení obvodu PCA9615 s impedančním zakončením sběrnice a možnostmi napojení uzelů. Upraveno z [35].



Obrázek 4.10: Zapojení PCA9615 v modulu. Upraveno z [35].

Výhodou PCA9615 je automatický výběr směru komunikace, není potřeba externího ovládání pro ovládání směru komunikace. Komunikace je možná až do rychlosti 1 MHz (přibližně pro 3 m), se zvýšenou délkou je však

nutné rychlosť snížit. Komunikace využívá standardného protokolu I²C. ESD ochrana, v prípade naindukovaní prepäti po ceste. Nezávislosť napájenia, je možné napájať koncová zariadenie z iného zdroja než Master. V neposlednej řadě sa jedná o jednoduché riešenie bez nutných ďalších zariadení na strane Slave, stačí pouze zapojiť koncové zariadenie s podporou I²C.

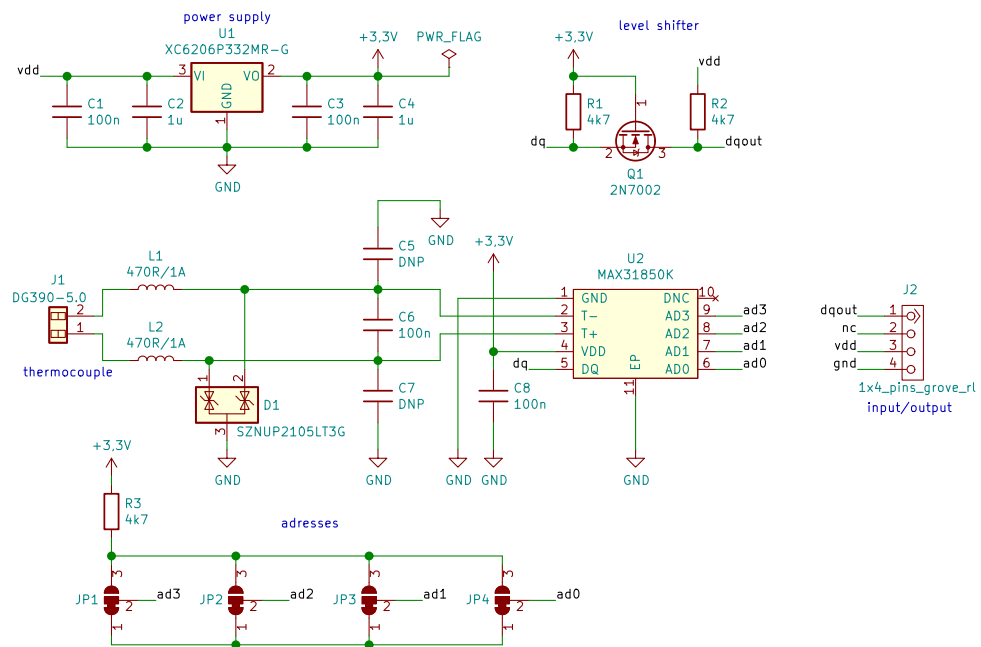


Obrázek 4.11: Modul s obvodom PCA9615 [36].

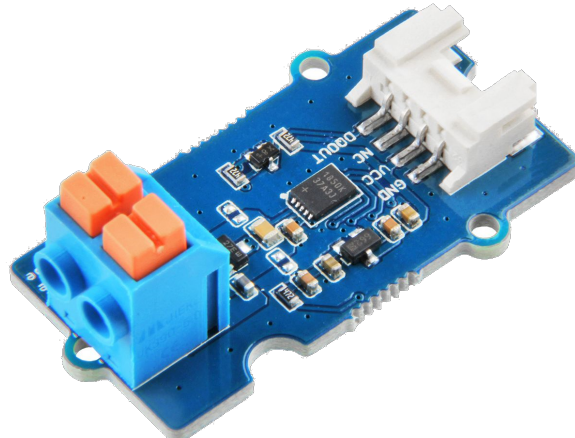
4.5.2

Teplotní senzory pripojené na kouřovody krbů realizované pomocí termočlánku z 4.2 jsou pripojené k zesilovači napětí generované termočlánkem, hodnota napětí je následně převedena do digitální podoby včetně teplotní kompenzace studeného konce termočlánku a tato hodnota je posílaná po 1-Wier sběrnici.

4. Výběr komponent/zařízení



Obrázek 4.12: . Upraveno z [] .



Obrázek 4.13:

Kapitola 5

Závěr

Jak již bylo řečeno v úvodu, současná verze dokumentu je teoretickou částí pro diplomovou práci. Podle zadání pro semestrální projekt se mi povedly splnit všechny body. Seznámil jsem se problematikou podlahového vytápění při využití zónové regulace. Navrhl jsem hardwarový koncept centrální jednotky a dalších nutných zařízení pro zónovou regulaci vytápění. V neposlední řadě jsem nastínil problematiku komunikace centrální jednotky, nástěnných snímačů prostorové teploty a akčních členů pro řízení jednotlivých otopných okruhů.

V současné době realizuji hardwarové části a připravuji software jak pro řízení těchto zařízení, tak i pro zónovou regulaci podlahového vytápění. Navržený způsob komunikace nástěnných snímačů prostorové teploty s centrální jednotkou testuji a připravuji jednotnou desku plošného spoje. Desku plošného spoje zónového regulátoru mám již navrženou, včetně výběru termoelektrických pohonů pro jednotlivé otopné okruhy.

V další navazující praktické části (diplomová práce) popíši vybrané a navržené komponenty/zařízení pro jednotlivé části z míňné v teoretické části. Dále uvedu softwarovou část pro zónovou regulaci na základě zvoleného řídicího systému Home Assistant. Navržený systém následně otestuji.

Přílohy

Příloha A

Literatura

- [1] BAŠTA, Jiří. Velkoplošné vytápění (I): Úvod do problematiky. *Tzbinfo* [online]. Praha, 26. 6. 2006n. l., **2006** [cit. 2020-11-01]. Dostupné z: <https://vytapeni.tzb-info.cz/3383-velkoplosne-vytapeni-i>
- [2] MATZ, Václav. Zónové regulační systémy a jejich využití při úsporném efektivním vytápění. *TZB-info* [online]. Praha, 2010 [cit. 2020-11-09]. Dostupné z: <https://vytapeni.tzb-info.cz/mereni-a-regulace/6203-zonove-regulacni-systemy-a-jejich-vyuziti-pri-uspornem-efektivnim-vytapeni>
- [3] , Redakce. Podlahové vytápění - přehled trhu. *TZB-info* [online]. Praha, 2008 [cit. 2020-11-09]. Dostupné z: <https://vytapeni.tzb-info.cz/podlahove-vytapeni/4667-podlahove-vytapeni-prehled-trhu>
- [4] MALÝ, Martin. Protokol MQTT: komunikační standard pro IoT. *Root.cz* [online]. Praha, 2016 [cit. 2020-12-02]. Dostupné z: <https://www.root.cz/clanky/protokol-mqtt-komunikaci-standard-pro-iot/>
- [5] VOJÁČEK, Antonín. IoT MQTT prakticky v automatizaci - 1.díl - úvod. *Automatizace.hw.cz: rady a poslední novinky z oboru* [online]. Praha: HW server, 2017 [cit. 2020-12-02]. Dostupné z: <https://automatizace.hw.cz/iot-mqtt-prakticky-v-automatizaci-1dil-uvod.html>
- [6] OLEJÁŘ, Martin. Stručný popis sběrnice I2C a její praktické využití k připojení externí eeprom 24LC256 k mikrokontroléru PIC16F877. *Vyvoj.hw.cz: profesionální elektronika* [online]. Praha: HW server, 2000 [cit. 2020-12-03]. Dostupné z: <https://vyvoj.hw.cz/navrh-obvodu/strucny-popis-sbernice-i2c-a-jeji-prakticke-vyuziti-k-pripojeni-externi-eeprom-24lc256>

- [7] TIŠNOVSKÝ, Pavel. Komunikace po sériové sběrnici I2C. *Root* [online]. Praha, 2009 [cit. 2020-12-03]. Dostupné z: <https://www.root.cz/clanky/komunikace-po-seriove-sbernicu-isup2supc/>
- [8] DUDKA, Michal. I2C — Relativně jednoduše. *Tajned* [online]. 2016 [cit. 2020-12-03]. Dostupné z: <http://www.tajned.cz/2016/10/i2c-relativne-jednoduse/>
- [9] Raspberry Pi 4 Tech Specs. *Raspberrypi.org* [online]. Raspberry Pi Foundation, 2020 [cit. 2020-12-13]. Dostupné z: <https://www.raspberrypi.org/products/raspberry-pi-4-model-b/specifications/?resellerType=home>
- [10] DUDÁČEK, Karel. *Http://home.zcu.cz/_dudacek/NMS/Seriova_rozhrani.pdf* [online]. Západočeská univerzita v Plzni, 2002. Dostupné také z: http://home.zcu.cz/~dudacek/NMS/Seriova_rozhrani.pdf
- [11] VALTER, Jaroslav. *Regulace v praxi: aneb Jak to dělám já*. Praha: BEN — technická literatura, 2010. ISBN 9788073002565.
- [12] DPS: Elektronika od A do Z [online]. 11. Liberec: CADware, 2020 [cit. 2020-11-29]. ISSN 1805-5044. Dostupné z: <https://www.dps-az.cz/e-archiv/detail/id:68995/3-2020>
- [13] DPS: Elektronika od A do Z [online]. 3. Liberec: CADware, 2012 [cit. 2020-11-29]. ISSN 1804-4891. Dostupné z: <https://www.dps-az.cz/e-archiv/detail/id:10370/4-2012>
- [14] VERMEULEN, Gavin. Heating and Wellbeing [obrázek]. In: *Heat Pumps* [online]. Austrálie [cit. 2020-11-05]. Dostupné z: <http://www.adelaidehydronicheating.com.au/heatpumps.html>
- [15] Velkoplošné sálavé systémy — revoluce ve vytápění a chlazení [obrázek]. In: *Asb* [online]. Praha, 2016, 29. 9. 2016 [cit. 2020-11-01]. Dostupné z: <https://www.asb-portal.cz/stavebnictvi/technicka-zarizeni-budov/vytapeni/velkoplosne-salave-systemy-revoluce-ve-vytapeni-a-chlazeni>
- [16] Bezdrátový vysílač pro podlah.topení PH-BP7-V [obrázek]. In: *Eletrobock* [online]. Kuřim, 2017 [cit. 2020-11-26]. Dostupné z: <https://www.elektrobock.cz/bezdratovy-vysilac-pro-podlah-topeni/p275>
- [17] Produkty — centrální jednotky [obrázek]. In: *Pocket home* [online]. Kuřim [cit. 2020-11-26]. Dostupné z: <https://pockethome.cz/cs/centralni-jednotky/>
- [18] Přijímač kotle-nástěnný PH-PK20 [obrázek]. In: *Eletrobock* [online]. Kuřim [cit. 2020-11-26]. Dostupné z: <https://www.elektrobock.cz/prijimac-kotle-nastenny/p104>

- [19] 9-ti kanálový přijímač pro podlah.topení PH-BP1-P9 [obrázek]. In: *Eletrobock* [online]. Kuřim, 2016 [cit. 2020-11-26]. Dostupné z: <https://www.elektrobock.cz/9-ti-kanalovy-prijimac-pro-podlah-topeni/p199>
- [20] Bezdrátový jednozónový prostorový termostat Honeywell Round T87RF2083 [obrázek]. In: *Bola: Měřící, regulační a topenářská technika* [online]. Praha [cit. 2020-11-26]. Dostupné z: <https://www.bola.cz/bezdratovy-jednozonovy-prostorovy-termostat-honeywell-round-t87rf2025>
- [21] Řídící jednotka Evohome Touch Wi-Fi Honeywell ATC928G3026 [obrázek]. In: *Bola: Měřící, regulační a topenářská technika* [online]. Praha [cit. 2020-11-26]. Dostupné z: <https://www.bola.cz/ridici-jednotka-evohome-touch-wi-fi-honeywell-atc928g3026>
- [22] Bezdrátová reléová jednotka Honeywell Evohome BDR91A1000 [obrázek]. In: *Bola: Měřící, regulační a topenářská technika* [online]. Praha [cit. 2020-11-26]. Dostupné z: <https://www.bola.cz/bezdratova-releova-jednotka-honeywell-evohome-bdr91a1000>
- [23] Sada Evohome TV Honeywell ATF500DHW [obrázek]. In: *Bola: Měřící, regulační a topenářská technika* [online]. Praha [cit. 2020-11-26]. Dostupné z: <https://www.bola.cz/sada-evohome-tv-honeywell-atf500dhw>
- [24] Honeywell Home podlahový termostat Honeywell evohome HCE80 [obrázek]. In: *Conrad* [online]. Praha [cit. 2020-11-26]. Dostupné z: <https://www.conrad.cz/p/honeywell-home-podlahovy-termostat-honeywell-evohome-hce80-1205666>
- [25] Rozšiřující modul pro HCC80 a HCE80 Honeywell Evohome HCS80 [obrázek]. In: *Bola: Měřící, regulační a topenářská technika* [online]. Praha [cit. 2020-11-26]. Dostupné z: <https://www.bola.cz/rozsirujici-modul-pro-hcc80-a-hce80-honeywell-evohome-hcs80>
- [26] Regulační prvky podlahového vytápění, Danfoss Icon 088U1081 [obrázek]. In: *Danfoss* [online]. [cit. 2020-11-26]. Dostupné z: <https://store.danfoss.com/cz/cs/Vyt%C3%A1p%C4%9Bn%C3%AD-a-d%C3%A1lkov%C3%A9-vyt%C3%A1p%C4%9Bn%C3%AD/Teplovodn%C3%AD-podlahov%C3%A9-vyt%C3%A1p%C4%9Bn%C3%AD/Prostоров%C3%A1-regulace/Regula%C4%8Dn%C3%AD-prvky-podlahov%C3%A9ho-vyt%C3%A1p%C4%9Bn%C3%AD/Danfoss-Icon/p/088U1081>
- [27] Danfoss Link, Central controller, Power supply: PSU 014G0288 [obrázek]. In: *Danfoss* [online]. [cit. 2020-11-26]. Dostupné z: <https://store.danfoss.com/en/Heating-and-District-Energy/Smart-Heating/Danfoss-Link---Smart-Heating/Central-Controller/Danfoss-Link%E2%84%A2%2C-Central-controller%2C-Power-supply%3A-PSU/p/014G0288>

- [28] Regulační prvky podlahového vytápění, Danfoss Icon, 230.0 V, Výstup - napětí [V] AC: 230, 8 088U1031 [obrázek]. In: *Danfoss* [online]. [cit. 2020-11-26]. Dostupné z: <https://store.danfoss.com/cz/cs/Vyt%C3%A1p%C4%9Bn%C3%AD-a-d%C3%A1lkov%C3%A9-vyt%C3%A1p%C4%9Bn%C3%AD/Prostorov%C3%A1-regulace/Regula%C4%8Dn%C3%AD-prvky-podlahov%C3%A9ho-vyt%C3%A1p%C4%9Bn%C3%AD/2C-Danfoss-Icon%2C-230-0-V%2C-V%C3%BDstup---nap%C4%9Bt%C3%AD-%5BV%5D-AC%3A-230%2C-8/p/088U1031>
- [29] Kotlové relé pro systém Danfoss Link, 868.42 MHz 014G0272 [obrázek]. In: *Danfoss* [online]. [cit. 2020-11-26]. Dostupné z: <https://store.danfoss.com/cz/cs/Kotlov%C3%A9ho-rel%C3%A9-pro-syst%C3%A9m-Danfoss-Link%2C-868-42-MHz/p/014G0272>
- [30] I2C Part 1 - Introducing I2C [obrázek]. In: *ABelectronics UK* [online]. Swanage, 2020 [cit. 2020-12-03]. Dostupné z: <https://www.abelectronics.co.uk/kb/article/1090/i2c-part-1---introducing-i2c>
- [31] MALÝ, Martin. Sběrnice 1-Wire [obrázek]. In: *Vyvoj.hw.cz: profesionální elektronika* [online]. Praha, 2004 [cit. 2020-12-04]. Dostupné z: <https://vyvoj.hw.cz/navrh-obvodu/rozhrani/sbernice-1-wiretm.html>
- [32] SCHOUTSEN, Paulus. Architecture [obrázek]. In: *Home Assistant Developer Docs* [online]. 2020 [cit. 2020-12-07]. Dostupné z: https://developers.home-assistant.io/docs/architecture_index
- [33] PRENNER, Michal. Raspberry Pi 4 Model B - 4GB RAM [obrázek]. In: *RPishop.cz: Váš dodavatel Raspberry Pi* [online]. České Budějovice, 2020 [cit. 2020-12-13]. Dostupné z: <https://rpishop.cz/raspberry-pi-4b/1598-raspberry-pi-4-model-b-4gb-ram-765756931182.html>
- [34] 72-21301041-0300-0060.GGP-K GUENTHER. In: *Tme.cz: Electronic Components* [online]. Polsko [cit. 2020-12-14]. Dostupné z: <https://www.tme.eu/cz/details/72-2130104160ggp-k/cidla-teploty-termoclanky/guenther/72-21301041-0300-0060-ggp-k/>
- [35] PCA9615DP: 2-channel multipoint Fast-mode Plus differential I2C-bus buffer with hot-swap logic. *Nxp.com* [online]. Eindhoven [cit. 2020-12-20]. Dostupné z: <https://www.nxp.com/products/interfaces/ic-spi-serial-interface-devices/ic-bus-repeaters-hubs-extenders/2-channel-multipoint-fast-mode-plus-differential-i2c-bus-buffer-with-hot-swap-logic:PCA9615DP>
- [36] SparkFun Differential I2C Breakout - PCA9615 (Qwiic). In: *Sparkfun.com: Start something* [online]. Niwot (Colorado, USA) [cit. 2020-12-19]. Dostupné z: <https://www.sparkfun.com/products/14589>